



VYSOKÉ UČENÍ TECHNICKÉ V BRNĚ
BRNO UNIVERSITY OF TECHNOLOGY



FAKULTA STROJNÍHO INŽENÝRSTVÍ
ÚSTAV MATEMATIKY
FACULTY OF MECHANICAL ENGINEERING
INSTITUTE OF MATHEMATICS

Aproximační plochy pro trojrozměrná data

APPROXIMATION SURFACES FOR 3D DATA

BAKALÁŘSKÁ PRÁCE
BACHELOR'S THESIS

AUTOR PRÁCE
AUTHOR

ALŽBETA VALACHOVÁ

VEDOUCÍ PRÁCE
SUPERVISOR

Mgr. JANA PROCHÁZKOVÁ, Ph.D.

Zadání bakalářské práce

Ústav:	Ústav matematiky
Studentka:	Alžbeta Valachová
Studijní program:	Aplikované vědy v inženýrství
Studijní obor:	Matematické inženýrství
Vedoucí práce:	Mgr. Jana Procházková, Ph.D.
Akademický rok:	2020/21

Ředitel ústavu Vám v souladu se zákonem č.111/1998 o vysokých školách a se Studijním a zkušebním řádem VUT v Brně určuje následující téma bakalářské práce:

Aproximační plochy pro trojrozměrná data

Stručná charakteristika problematiky úkolu:

Hlavní úkol práce bude studium a zpracování různých druhů approximačních metod pro proložení prostorových dat. Student se seznámí se získáváním 3D dat (3D skenování) a různými algoritmy pro jejich zpracování a následnou vizualizaci. Některé algoritmy také implementuje a porovná výsledky.

Cíle bakalářské práce:

1. Seznámení se s principy 3D skenování a vytváření prostorových modelů.
2. Nastudování problematiky prokládání prostorových dat (metoda nejmenších čtverců, RANSAC, spline, apod.).
3. Programové zpracování vybraných algoritmů a jejich srovnání.

Seznam doporučené literatury:

FISCHLER, M. A. a R. C. BOLLES. Random sample consensus. Communications of the ACM. 1981, 24(6), 381-395. ISSN 0001-0782. Dostupné z: doi:10.1145/358669.358692

SCHNABEL, R., R. WAHL a R. KLEIN. Efficient RANSAC for Point-Cloud Shape Detection. Computer Graphics Forum. 2007, 26(2), 214-226. ISSN 0167-7055. Dostupné z: doi:10.1111/j.1467-8659.2007.01016.x

PIEGL, L. A. a W. TILLER. The NURBS book: with 334 figures in 578 parts. Berlin: Springer-Verlag, c1995. ISBN 3-540-55069-0.

Termín odevzdání bakalářské práce je stanoven časovým plánem akademického roku 2020/21

V Brně, dne

L. S.

prof. RNDr. Josef Šlapal, CSc.
ředitel ústavu

doc. Ing. Jaroslav Katolický, Ph.D.
děkan fakulty

Abstrakt

Táto bakalárska práca sa zaoberá approximáciou 3D dát plochami pomocou metódy RANSAC, metódy najmenších štvorcov a B-spline plochy. Jej cieľom je naštudovanie a spracovanie menovaných metód v programoch. Najprv sú metódy popísané a potom je vysvetlené a rozobraté ich programové spracovanie. V poslednej kapitole sú metódy porovnané na dátach získaných 3D skenovaním. Vďaka tomu dokážeme určiť ich výhody a nevýhody.

Abstract

This bachelor thesis is dealing with approximation surfaces for 3D data using methods such as RANSAC, least square method and B-spline surface. Its goal is to study and program these methods. First, the methods are described and then the actual programs are analysed. In the end of the thesis, we compare all three methods using data from 3D scanning. Through this effort we can assess their positives and negatives.

kľúčové slová

approximácia, plochy, trojrozmerné dátá, 3D skenovanie, reverzné inžinierstvo, RANSAC, metóda najmenších štvorcov, B-spline krivky, B-spline plochy

keywords

approximation, surfaces, 3D data, 3D scan, reverse engineering, RANSAC, least square method, B-spline curves, B-spline surfaces

VALACHOVÁ, Alžbeta. *Approximační plochy pro trojrozměrná data*, 45 s. Brno, 2021. Dostupné také z: <https://www.vutbr.cz/studenti/zav-prace/detail/132356>. Bakalářská práce. Vysoké učení technické v Brně, Fakulta strojního inženýrství, Ústav matematiky. Vedoucí práce Jana Procházková.

Prehlasujem, že som bakalársku prácu *Aproximační plochy pro trojrozměrná data* vypracovala samostatne pod vedením Mgr. Jany Procházkovej, Ph.D. s použitím materiálov uvedených v zozname literatúry.

Alžbeta Valachová

Rada by som podľakovala svojej vedúcej bakalárskej práce Mgr. Jane Procházkovej, Ph.D. za odborné rady, pomocnú ruku a trpežlivosť.

Alžbeta Valachová

Obsah

Úvod	12
1 3D skenovanie	12
2 Teoretická časť	13
2.1 RANSAC	13
2.1.1 Iterácie	13
2.1.2 Lagrangeove multiplikátory	15
2.2 Metóda najmenších štvorcov	16
2.3 Bézierové krivky	17
2.3.1 Lineárna Bézierova krivka	18
2.3.2 Kvadratická Bézierova krivka	18
2.3.3 Kubická Bézierova krivka	19
2.3.4 Racionálne Bézierové krivky	20
2.3.5 Geometrické vlastnosti Bézierovych kriviek	20
2.4 B-spline krivky	20
2.4.1 Uzlový vektor	21
2.4.2 Bázové funkcie	21
2.4.3 Násobné uzly	22
2.4.4 Typy B-spline kriviek	22
2.4.5 Vlastnosti B-spline kriviek	22
2.5 B-spline plochy	23
2.5.1 Vlastnosti B-spline plôch	24
3 Programové spracovanie a rozbor	24
3.1 RANSAC s modelom všeobecnej rovnice roviny	24
3.1.1 Časové závislosti	27
3.2 RANSAC s modelom kvadratickej plochy	30
3.2.1 Časové závislosti	33
3.3 Metóda najmenších štvorcov	35
3.3.1 Všeobecná rovnica roviny	35
3.3.2 Kvadratická plocha	36
3.3.3 Časové závislosti	39
3.4 B-spline	40
3.4.1 De Boorov algoritmus	40
3.4.2 B-spline plocha	45
3.4.3 Mriežková štruktúra	45
3.4.4 Časové závislosti	49
4 Porovnanie aproximačných metód	51
Záver	55
Použité symboly a skratky	57
Zoznam príloh	58

Úvod

Slovo approximácia pochádza z latinského *approximatus*, čo v preklade znamená *veľmi blízky, podobný*. Je významné v technických a vedeckých smeroch. A tak je to aj s approximačnými plochami, ktorých použiteľnosť je rozsiahla. Táto práca je zameraná na konkrétnie tri spôsoby approximácie dát – metódu RANSAC, metódu najmenších štvorcov a B-spline plochu. V Teoretickej časti práce sú tieto metódy popísané a v časti Programové spracovanie a rozbor sa nachádza analýza vzniknutých programov a na záver práce metódy porovnáme na vstupoch z 3D skenu.

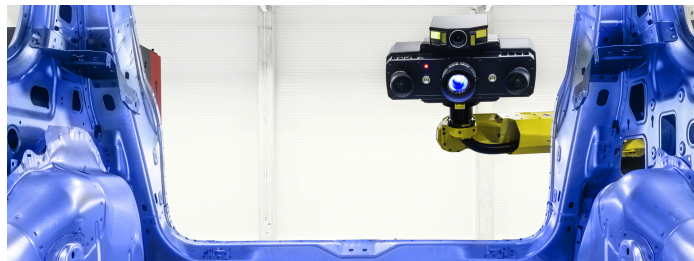
Najstaršia approximácia zo spomínaných je metóda najmenších štvorcov, ktorej pôvod sa datuje do 19. storočia, kedy ju ako prvý popísal Francúz Adrien-Marie Legendre v roku 1805. Teraz je to významná a všeobecne známa metóda v štatistike. RANSAC sa stal veľmi dôležitým nástrojom v analýze obrazu už v osemdesiatych rokoch minulého storočia. Predtým, ako vznikol pojem počítačová grafika, okolo roku 1960 sa v automobilovom a leteckom priemysle používali B-spline krivky.

Jeden zo smerov, ktorý dokáže oceniť a využiť approximačné plochy, je reverzné inžinierstvo. Reverzné inžinierstvo v strojárenstve je oblasť, ktorá sa zaoberá spätným rozstrojením modelu komponentu z nameraných dát. Namerat dátá môžeme rôznymi spôsobmi, napríklad 3D skenovaním. V tejto práci sme spomínané approximačné metódy použili na reálne dátá, ktoré boli namerané 3D skenerom typu ATOS.

Reverzné inžinierstvo je uplatniteľné v mnohých oblastiach – skenujú a následne sa späťne modelujú sochy alebo historické budovy, v zubnom lekárstve sa vyrábajú ortézy alebo protézy pre pacientov, vytvárajú sa 3D modely pre novodobé videohry, kde hrajú skutoční herci. Pomocou ich pohybov sa následne vytvoria modely postáv v hre, ktoré sú jednoduchšie programovateľné a vyzerajú realisticky.

1 3D skenovanie

Nasledujúci text je čerpaný z [1, 2]. 3D skenovanie je optická metóda na získavanie dát. Skenovaním reálnych 3D objektov získame mračno bodov, s ktorým môžeme ďalej pracovať. ATOS je typ skenera, ktorý používa premietanie uzkopásmového modrého svetla na zmeranie mračna bodov objektu. Vpredu má dve kamery a projektor. Je vybavený technológiou Triple Scan, pri ktorej sa použijú kamery a projektor zároveň. Táto technológia vie účinne minimalizovať počet skenov a poskytovať kvalitnejšie dátá. Nasledujúci obr. 1 pochádza zo zdroja [2].



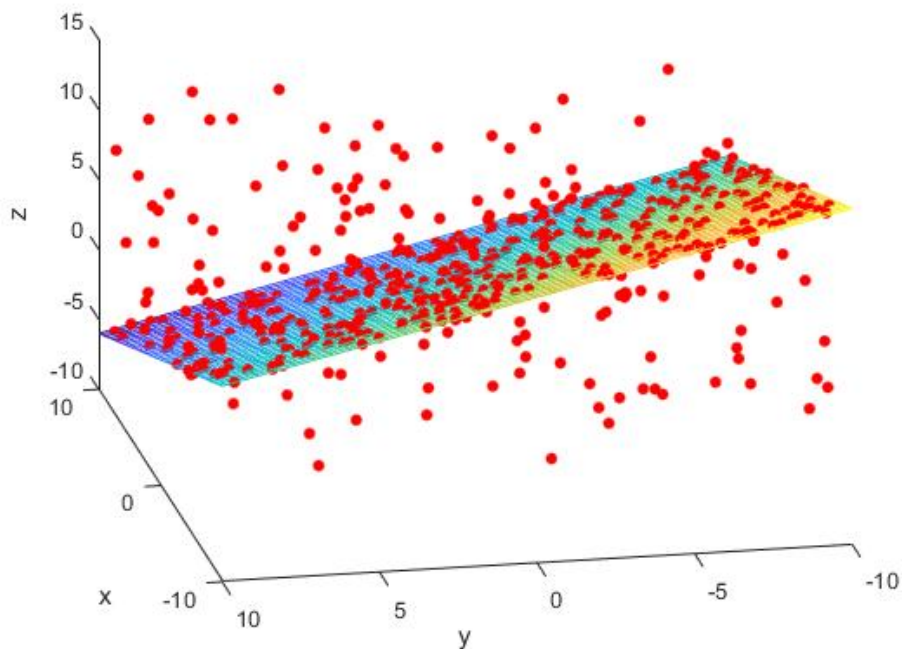
Obr. 1: ATOS

2 Teoretická časť

2.1 RANSAC

RANSAC je iteratívna metóda na odhadnutie matematického modelu podľa vstupných pozorovaných dát. Názov predstavuje skrátený výraz pre Random Sample Consensus, v preklade zhoda náhodnej vzorky.

Túto metódu môžeme použiť na výpočet konkrétneho matematického modelu, ktorým budeme approximovať dátu. Vyberieme zo všetkých dát minimálnu vzorku potrebnú na výpočet modelu a pomocou nej získame testovací model. V tejto práci sme sa zamerali na approximačné plochy, tým pádom testovať optimálnosť modelu budeme na základe kritéria vzdialenosťi. Body, ktoré sa nachádzajú nanajvýš v preddefinovanej hraničnej vzdialenosťi, sa nazývajú *inliers* a body, ktoré sú za ňou, *outliers*. Výpočet modelu opakujeme, pokým počet *inliers* nedosiahne požadovanú hodnotu. [3, 4, 5]



Obr. 2: Metóda RANSAC

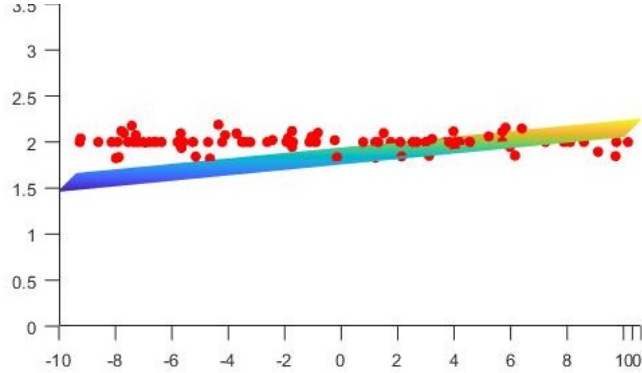
Body, ktoré sa na obr.2 nachádzajú mimo approximačnú rovinu, sú *outliers*. Avšak môžu to byť aj presné hodnoty, ktoré sa nastavením preddefinovaných hodnôt nedostali do výberu. Môžu byť spôsobené napríklad šumom.

Je na nás, aké preddefinované hodnoty vzdialenosťi a počtu *inliers* si zvolíme. Od ich zvolenia závisí presnosť approximácie.

2.1.1 Iterácie

Pre úspešné nájdenie optimálneho riešenia musíme opakovane vyberať vzorku z počiatočných bodov. Dôležitá je voľba počtu opakovaní. Pokiaľ by sme napevno zadali veľký počet

iterácií, mohlo by sa stať, že program nájde vhodné riešenie, ale výpočet pokračuje. Po kiaľ by sme naopak zadali nízky počet, program nemusí nájsť vhodné riešenie.



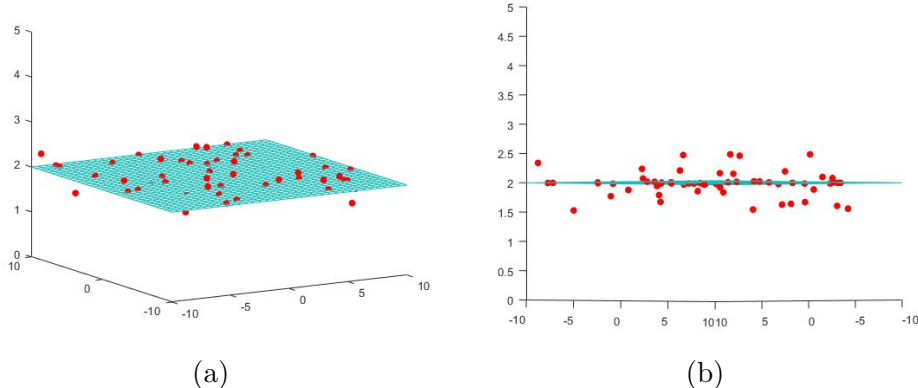
Obr. 3: Nesprávne vybratá rovina

Na obr.3 vybratá vzorka bodov nesprávne approximuje zvyšné body. V tomto prípade by bolo treba zvýšiť počet iterácií. Aby sme sa zbavili tohto problému, na výpočet iterácií využijeme nasledujúci vzťah:

$$k = \frac{\ln(1 - p)}{\ln(1 - w^n)}, \quad (2.1)$$

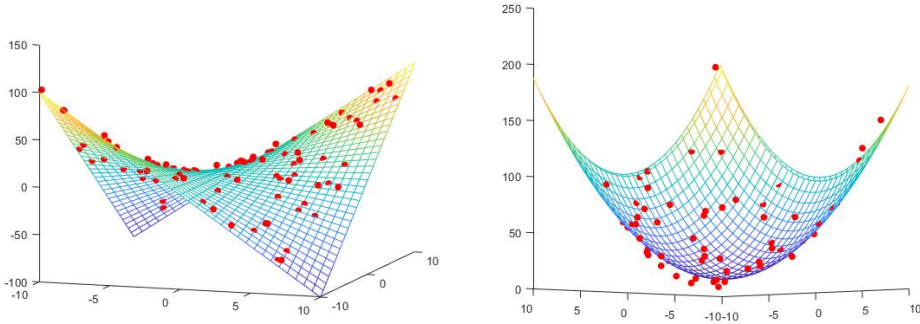
kde k je počet iterácií, p je pravdepodobnosť úspešného riešenia – číslo z intervalu $< 0, 1 >$, ktorým nastavíme presnosť. Hodnota w predstavuje pravdepodobnosť vybratia *inlieru* zo vstupných bodov a n je minimálny počet dát na výpočet modelu.[3, 5]

Na nasledujúcich obrázkoch je použitý RANSAC na approximáciu 60 bodov rovinou, kde polovica bodov mala rovnakú súradnicu $z = 2$ a zvyšné boli náhodne posunuté o číslo z intervalu $< -0.5, 0.5 >$. Vybrali sme rovinu, ktorá splňala kritériá, a teda sa výsledná rovnica blížila k $z = 2$.



Obr. 4: Rovina definovaná rovnicou $z = \frac{29.77}{14.89} \doteq 1.9993$

RANSAC môžeme použiť na akékoľvek geometrické plochy, ktoré vieme zadefinovať.



(a) hyperbolický paraboloid

(b) eliptický paraboloid

Obr. 5: RANSAC použitý na nájdenie modelu kvadratickej plochy

Kritériá, ktoré sme použili na otestovanie vhodnosti riešenia boli založené na percentuálnom počte *inliers*. Pri rovine definovanej $ax + by + cz + d = 0$ je vzdialenosť bodu od roviny počítaná jednoduchou analytickou geometriou.

Veta 2.1. Nech $X_0 = [x_0, y_0, z_0]$ je bod v euklidovskom priestore a nech α je rovina zadaná všeobecnej rovnicou $ax + by + cz + d = 0$. Potom pre vzdialenosť bodu od roviny platí:

$$vzdial(X_0, \alpha) = \frac{|ax_0 + by_0 + cz_0 + d|}{\sqrt{a^2 + b^2 + c^2}} \quad (2.2)$$

Pri kvadratických plochách je výpočet vzdialenosť zložitejší. Na výpočet sme použili Lagrangeove multiplikátory.

2.1.2 Lagrangeove multiplikátory

Joseph-Louis Lagrange bol významný vedec, konkrétnie v matematike hned' v niekoľkých odvetviach. Podaroval svoje meno rôznym vetám aj štruktúram. Zaviedol aj Lagrangeove multiplikátory, tiež známe pod pojmom Lagrangeove neurčité súčinitele. Slúžia na nájdenie viazaných lokálnych extrémov funkcie viacerých premenných. Nasledujúca teória je čerpaná zo zdrojov [6, 7].

Definícia 2.2. Nech $f = f(x_1, x_2, \dots, x_n)$ je funkcia a $M \subseteq D(f)$ je nejaká neprázdna množina. Povieme, že f má v bode $x_0 \in M$ lokálne maximum, respektívne minimum, ak existuje také okolie $o(x_0)$, že pre všetky x platí: $f(x_0) \geq f(x)$, respektívne $f(x) \geq f(x_0)$.

Poznámka. Pokiaľ sú nerovnosti ostré, extrémy nazveme ostré.

Budeme uvažovať prípad, keď je množina M definovaná sústavou rovníc:

$$g_i(x_1, x_2, \dots, x_n) = 0, \quad i = 1, \dots, m \quad (2.3)$$

V tomto prípade miesto lokálneho extrému vzhládom k M budeme x_0 nazývať viazaným lokálnym extrémom.

Rovnice (2.3) nazývame väzbami. Úlohou Lagrangeových multiplikátorov je teda nájsť extrémy funkcie f s väzbami $g_i(x_1, x_2, \dots, x_n) = 0$.

Lagrangeova metóda:

Nech funkcie $f(x_1, x_2, \dots, x_n)$ a $g_i(x_1, x_2, \dots, x_n), i = 1, \dots, m$ majú spojité parciálne derivácie prvého rádu na nejakej otvorenej oblasti v \mathbb{R}^n . Nech f je viazaná podmienkou (2.3) pre všetky body množiny M a nech nadobúda svoj viazaný lokálny extrém na M v bode x_0 . Potom existujú reálne čísla $\lambda_1, \dots, \lambda_n$, pre ktoré platí:

$$\nabla f(x_0) = \lambda_1 \nabla g_1(x_0), \quad g_i(x_1, x_2, \dots, x_n) = 0 \quad (2.4)$$

Čísla λ sú tzv. Lagrangeove multiplikátory.

Poznámka. Cieľom je zestrojiť Lagrangeovu funkciu:

$$L(x_1, \dots, x_n, \lambda_1, \dots, \lambda_n) = f(x_1, \dots, x_n) + \lambda_i g_i(x_1, \dots, x_n), i = 1, \dots, m \quad (2.5)$$

a nájsť jej lokálne extrémy.

Definícia 2.3. Bod $x_0 \in M$, pre ktorý existujú Lagrangeove multiplikátory $\lambda_1, \dots, \lambda_m$, tak, že platí (2.4), sa nazýva stacionárny bod funkcie f na M .

Poznámka. Nájdením lokálneho extrému funkcie L získame lokálny viazaný extrém funkcie f s podmienkou (2.3).

Lagrangeove multiplikátory použijeme na minimalizovanie vzdialenosťi bodu $X = [x_0, y_0, z_0]$ od roviny spočítanej metódou RANSAC.

Máme funkciu kvadrátu vzdialenosťi:

$$f(x, y, z) = (x - x_0)^2 + (y - y_0)^2 + (z - z_0)^2 \quad (2.6)$$

a funkciu kvadratickej plochy, ktorá je jej väzbovou podmienkou:

$$ax^2 + by^2 + cx + dy + exy + f - z = 0 \quad (2.7)$$

Zostavíme Lagrangeovu funkciu:

$$L = (x - x_0)^2 + (y - y_0)^2 + (z - z_0)^2 + \lambda(ax^2 + by^2 + cx + dy + exy + f - z) \quad (2.8)$$

Spočítame jej parciálne derivácie podľa x, y, z, λ a položíme ich rovné 0:

$$\frac{\partial L}{\partial x} = 0, \quad \frac{\partial L}{\partial y} = 0, \quad \frac{\partial L}{\partial z} = 0, \quad \frac{\partial L}{\partial \lambda} = 0 \quad (2.9)$$

Riešením tohto systému rovnic získame lokálne extrémy funkcie L a tým pádom aj lokálne viazané extrémy rovnice (2.6) s podmienkou (2.7). Lokálny viazaný extrém je teda miesto na kvadratickej ploche, ktoré je k danému bodu najbližšie alebo najďalej. A túto vlastnosť využijeme na výpočet vzdialenosťi bodu od kvadratickej plochy.

2.2 Metóda najmenších štvorcov

Nasledujúce informácie sú čerpané zo zdroja [12]. Metóda najmenších štvorcov je approximačná metóda, ktorá je významná v štatistikе. Všeobecne sa používa na eliminácii chýb dát vzhľadom k nejakému kritériu.

Môže byť využitá napríklad na riešenie predurčených sústav rovníc.

Na začiatku máme n meraní pre m nezávislých premenných a závislej veličiny z . Pre vstupné merania hľadáme optimálny regresný model, ktorý ich bude approximovať. Matematický model musíme mať pred použitím tejto metódy zvolený. V špeciálnom prípade metódy najmenších štvorcov môžeme pridať aj váhu týchto meraní, aby sme jednotlivým merianiam pridali príslušnú spoľahlivosť. Model, s ktorým v metóde pracujeme, predstavuje množinu podobných funkcií F , ktoré sú závislé na m vstupných premenných a líšia sa v parametroch označených $\bar{\beta}_i = (\beta_1, \dots, \beta_g)$. Tieto funkcie označíme nasledovne:

$$F = F(\bar{\beta}, x_1, \dots, x_m) \quad (2.10)$$

Dáta approximujeme funkciou, takže okrem ideálneho prípadu funkcia nebude prechádzať všetkými vstupnými dátami. Vždy budeme mať dátu, ktoré budú vzdialené od nej o odchýlku e_i . Pre optimálnosť riešenia požadujeme, aby odchýlky dát od modelovej funkcie boli minimálne. Preto musíme vybrať takú funkciu F , od ktorej majú vstupné dátu minimálnu odchýlku.

Veličinu z_i vyjadrimo ako funkčnú hodnotu F posunutú o odchýlku e_i :

$$z_i = F(\bar{\beta}_i, x_1, \dots, x_m) + e_i \quad (2.11)$$

Hľadáme minimálny kvadrát odchýlky, a to pre všetky dátu:

$$\min(S(\bar{\beta}_i)^2) = \min\left(\sum_{i=1}^n e_i^2\right) = \min\left(\sum_{i=1}^n (z_i - F(\bar{\beta}_i, x_1, \dots, x_m))^2\right) \quad (2.12)$$

Na minimalizáciu funkcie $S(\bar{\beta}_i)^2$ použijeme parciálne derivácie podľa β_1, \dots, β_g a položíme ich rovné 0:

$$\begin{aligned} \frac{\partial S(\bar{\beta}_i)^2}{\partial \beta_1} &= 0 \\ \frac{\partial S(\bar{\beta}_i)^2}{\partial \beta_2} &= 0 \\ &\vdots \\ \frac{\partial S(\bar{\beta}_i)^2}{\partial \beta_g} &= 0 \end{aligned}$$

Riešením sústavy g rovníc o g neznámych získame hľadané koeficienty optimálneho riešenia.

V tejto práci sme sa zamerali na použitie metódy najmenších štvorcov pre rovinu definovanú všeobecnou rovnicou roviny a pre kvadratickú plochu. Konkrétny postup nájdeme v kapitole Programové spracovanie a rozbor na strane 24.

2.3 Bézierové krivky

Nasledujúca kapitola vychádza zo zdrojov [14]. Bézierove krivky získali svoj názov po francúzskom inžinierovi Pierre Bézierovi, ktorý ich ako prvý spomenul v publikácii *How*

Renault Uses Numerical Control for Car Body Design and Tooling v roku 1968. Bézierova krivka je aproximačná parametrická krivka určená riadiacim polynómom. Parameter je použitý na vymedzenie hodnoty premenných.

Definícia 2.4. Majme $p + 1$ riadiacich bodov P_i v euklidovskom priestore alebo rovine. Definujeme bázovú funkciu $B_{i,p}(u)$ p -tého stupňa:

$$B_{i,p}(u) = \frac{p!}{i!(p-i)!} u^i (1-u)^{p-1}, \quad u \in <0, 1> \quad (2.13)$$

Definícia 2.5. Majme $p + 1$ riadiacich bodov P_i a nech $B_{i,p}(u)$ sú jednotlivé bázové funkcie. Potom Bézierovu krivku p -tého stupňa definujeme ako lineárnu kombináciu jednotlivých bázových funkcií a riadiacich bodov:

$$C(u) = \sum_{i=0}^p B_{i,p}(u) P_i, \quad u \in <0, 1> \quad (2.14)$$

Poznámka. Bázová funkcia je tiež známa pod pojmom Bernsteinov polynom alebo riadiaci polygón. V skutočnosti predstavuje klasický polynom p -tého stupňa. Stupeň Bézierovej krivky bude vždy o 1 menší ako počet riadiacich bodov.

2.3.1 Lineárna Bézierova krivka

Lineárna Bézierova krivka je krivka prvého stupňa. Predstavuje úsečku, kde riadiace body P_0 a P_1 splynú s krajinými. Dosadením do (2.14) získame nasledujúcu parametrizáciu:

$$C(u) = (1-u)P_0 + uP_1, \quad u \in <0, 1> \quad (2.15)$$



Obr. 6: Lineárna Bézierova krivka

Podľa zvolenej hodnoty parametru u sa dostaneme na príslušné miesto na lineárnej funkcií. Dosadením do rovnice (2.13) získame 2 riadiace polygóny:

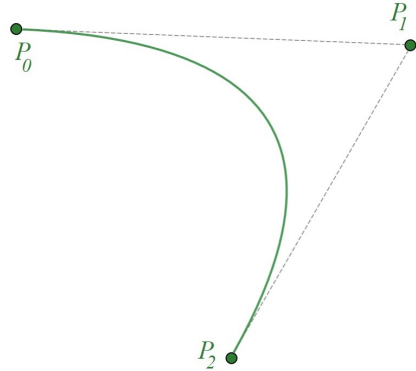
$$\begin{aligned} B_{0,1}(u) &= 1 - u \\ B_{1,1}(u) &= u \end{aligned} \quad (2.16)$$

2.3.2 Kvadratická Bézierova krivka

Kvadratická Bézierova krivka je krivka druhého stupňa. Na vykreslenie potrebuje 3 riadiace body P_0 , P_1 a P_2 , ktoré predstavujú trojuholník, v ktorom Bézierova krivka vytvorí parabolu.

Krivku opäť získame dosadením do rovnice (2.14):

$$C(u) = (1-u)^2 P_0 + 2u(1-u)P_1 + u^2 P_2, \quad u \in <0, 1> \quad (2.17)$$



Obr. 7: Kvadratická Bézierova krivka

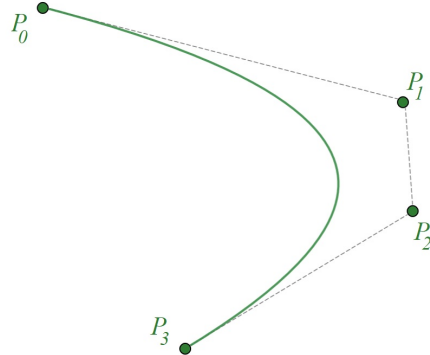
Riadiace polygóny dostaneme dosadením do (2.13):

$$\begin{aligned} B_{0,2}(u) &= (1-u)^2 \\ B_{1,2}(u) &= 2(1-u) \\ B_{2,2}(u) &= u^2 \end{aligned} \quad (2.18)$$

2.3.3 Kubická Bézierova krivka

Kubická Bézierova krivka je krivka tretieho stupňa. Začína v počiatočnom bode $P_0 = C(0)$ a d'alej pokračuje smerom k bodom P_1 a P_2 , ktoré určujú jej tvar, ale nenachádzajú sa na nej. Končí na poslednom riadiacom bode $P_3 = C(3)$. Krivku opäť získame dosadením do rovnice (2.14):

$$C(u) = (1-u)^3 P_0 + 3u(1-u)^2 P_1 + 3u^2(1-u)P_2 + u^3 P_3, \quad u \in \langle 0, 1 \rangle \quad (2.19)$$



Obr. 8: Kubická Bézierova krivka

Riadiace polygóny dostaneme dosadením do (2.13):

$$\begin{aligned} B_{0,3}(u) &= (1-u)^3 \\ B_{1,3}(u) &= 3u(1-u)^2 \\ B_{2,3}(u) &= 3u^2(1-u) \\ B_{3,3}(u) &= u^3 \end{aligned} \quad (2.20)$$

2.3.4 Racionálne Bézierove krivky

Racionálne Bézierove krivky navyše uvažujú váhu vrcholov. Každý z vrcholov je definovaný v priestore štyrmi číslami, kde posledná hodnota predstavuje váhu. Racionálne Bézierove krivky sú vhodné na vykreslenie kuželosečiek.

Definícia 2.6. Nech p je stupeň krivky, $B_{i,p}(u)$ sú riadiace polygóny, P_i riadiace body a w_i nech je nezáporná váha vrcholu. Potom definujeme racionálne Bézierove krivky nasledovne:

$$C(u) = \frac{\sum_{i=1}^p B_{i,p}(u) w_i P_i}{\sum_{i=1}^p B_{i,p}(u) w_i}, \quad u \in <0, 1> \quad (2.21)$$

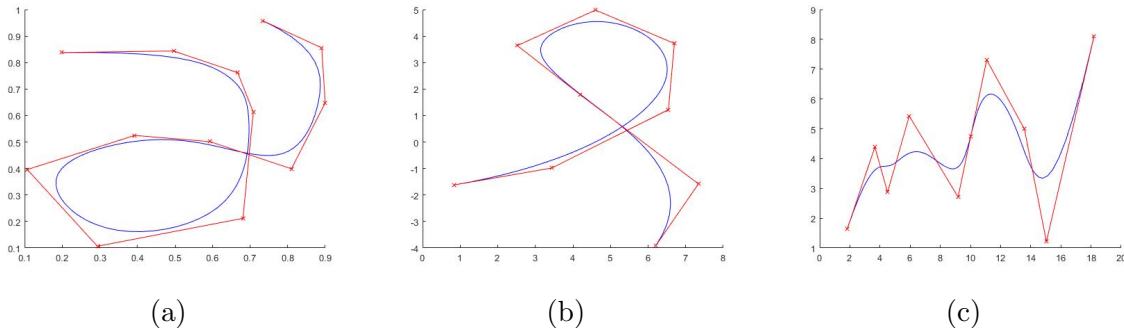
2.3.5 Geometrické vlastnosti Bézierovych kriviek

- **Konvexný obal:** Bézierova krivka sa nachádza v konvexnom obale tvorenom z jej riadiacich bodov P_0 až P_{p-1} .
- **Afinná invariantnosť Bézierovej krivky:** Afinné zobrazenie stačí použiť len na riadiace body Bézierovek krivky. Patrí sem napríklad posunutie a otočenie krivky.
- **Počiatočné a koncové body:** Bézierova krivka interpoluje koncové body.

2.4 B-spline krivky

Nasledujúca kapitola vychádza zo zdrojov [8, 10, 13, 14]. Na Bézierove krivky nadväzuje teória B-splínov. Názov spline predstavuje prúžok dreva alebo kovu, ktorý sme schopní ohýbať. B predstavuje slovo bázový, a teda B-spliny sú vlastne bázové spliny. Nevýhoda kriviek, ktoré sú definované jedným polynómom je, že prispôsobenie niektorým komplexným tvarom vyžaduje vysoký stupeň polynómu. Na druhú stranu, príliš vysoký stupeň negatívne ovplyvní stabilitu numerického výpočtu. To je jeden z dôvodov zavedenia B-splinu. B-spline krivka je zložená z viacerých Bézierov v jednotlivých úsekoch.

Existujú ďalšie krivky zložené z Bézierových, napríklad kubický Hermitov spline a tiež Catmull-Romov spline. Podobne ako pri Bézierových krivkách, aj B-spliny môžeme rozdeliť na racionálne a neracionálne. Výhoda B-splínov je, že ich algoritmus je pomerne jednoduchý, rýchly a prípadne sa dajú ľahko lokálne upraviť. Sú teda výhodnejšie v praxi.



Obr. 9: B-spline krivky

2.4.1 Uzlový vektor

Ak by sme chceli napriamo rozdeliť B-spline krivku, bolo by to náročné. Je preto výhodnejšie, aby sme rozdelili jej oblasti. Ak je oblasť napríklad interval $< 0, 1 >$, rozdelíme ju na takzvané uzly $0 \leq u_0 \leq u_1 \leq \dots \leq u_m \leq 1$. Táto neklesajúca postupnosť $U = \{u_0, u_1, \dots, u_m\}$ sa nazýva uzlový vektor, jednotlivé u_i sú uzly a je to potrebný vstupný parameter na vytvorenie B-splinu. Keďže je to neklesajúca postupnosť, uzly u_i sa môžu opakovať. Maximálna násobnosť pre vnútorné uzly je p a pre koncové uzly $p + 1$, kde p je stupeň krivky.

2.4.2 Bázové funkcie

Definícia 2.7. Nech $U = \{u_0, u_1, \dots, u_m\}$ je uzlový vektor a $u \in < u_0, u_m >$. Potom bázové funkcie stupňa p definujeme takto:

$$N_{i,0}(u) = \begin{cases} 1 & u \in < u_i, u_{i+1} > \\ 0 & \text{inak} \end{cases}$$

$$N_{i,p}(u) = \frac{u - u_i}{u_{i+p} - u_i} N_{i,p-1}(u) + \frac{u_{i+p+1} - u}{u_{i+p+1} - u_{i+1}} N_{i+1,p-1}(u) \quad (2.22)$$

Poznámka. Na definícii 2.7 si môžeme všimnúť, že $N_{i,p}(u)$ využíva rekurziu. $N_{i,p}(u)$ je nezáporná po častiach spojité polynomiálna funkcia. Pri viacnásobných uzloch vznikajú zlomky $\frac{0}{0}$. Tento problém odstránime, ak ich položíme rovné nule.

Definícia 2.8. Majme $N_{i,p}$ bázovú funkciu stupňa p z definície 2.7, $n+1$ navzájom rôznych riadiacich bodov P_i , uzlový vektor $U = \{u_0, u_1, \dots, u_m\}$ a číslo $u \in < u_0, u_m >$. Definujme B-spline krivku stupňa p ako lineárnu kombináciu bázových funkcií a riadiacich bodov:

$$C(u) = \sum_{i=0}^p N_{i,p}(u) P_i, \quad u \in < u_0, u_m > \quad (2.23)$$

Poznámka. Pre B-spline stupňa p s $n+1$ riadiacimi bodmi bude mať uzlový vektor dĺžku $m+1 = n+p+2$ a bude mať tento tvar:

$$U = \{a_0, \dots, a_p, u_{p+1}, \dots, u_{m-p-1}, b_0, \dots, b_p\} \quad (2.24)$$

Pomocou uzlového vektora sa posúvame po jednotlivých sekvenciach B-splinu, ktoré sú definované dĺžkou uzlu – dĺžkou intervalu $< u_i, u_{i+1} >$.

Poznámka. Pokiaľ platí, že $n = p$ a $U = \{0, \dots, 0, 1, \dots, 1\}$, potom bázové funkcie majú rovnaký tvar ako pri Bézierovej krivke a $C(u)$ je vlastne Bézier.

Definícia 2.9. Uzlový vektor sa nazýva uniformný, ak platí $u_{i+1} - u_i = \text{konst}$ pre $i \in < p+1, m-p-1 >$.

2.4.3 Násobné uzly

Pokiaľ parameter u nie je uzol v uzlovom vektore U , $C(u)$ v strede segmentu stupňa p je nekonečne diferencovateľná. Pokiaľ toto neplatí a u je uzol s násobnosťou k pri ne-nulovej bázovej funkcií, $C(u)$ je iba C^{p-k} spojité na danom segmente.

Zmena spojitosti pri násobných uzloch nie je ich jediný dopad na B-spline. Ďalší dôsledok, ktorý je dôležitý pri výpočtových algoritmoch B-spline kriviek, je, že každý uzol s multiplicitou k zníži počet nenulových bázových funkcií v tomto uzle. Uzol s multiplicitou k má najviac $p - k + 1$ nenulových bázových funkcií. Pre uzol s násobnosťou $k = p$ je iba jedna nenulová bázová funkcia.

2.4.4 Typy B-spline kriviek

B-spline krivky môžeme rozdeliť na viacero druhov. Nech $C(u)$ je B-spline krivka z definície (2.8).

1. **Uzavreté:** Ak by sme chceli z $C(u)$ skonštruovať uzavretú B-spline krivku p -tého stupňa, jedným zo spôsobov je vziať prvých p bodov a zaradiť ich za posledný bod P_n . Uzlový vektor musí byť uniformný. Krivka bude potom začínať v bode P_0 a končiť v P_n .
2. **Vnorené¹:** Na vytvorenie vnorenej B-spline krivky potrebujeme, aby prvý a posledný uzol v uzlovom vektore mali multiplicitu $p + 1$.
3. **Otvorené:** Otvorená B-spline krivka je taká, ktorej uzlový vektor nemá štruktúru násobnosti prvého a posledného uzlu ako pri vnorenej. Uniformnosť nie je nutná podmienka.

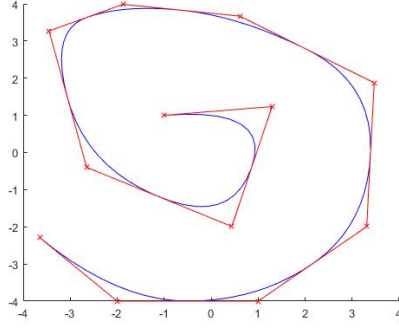
2.4.5 Vlastnosti B-spline kriviek

Najprv sa pozrieme na rozdiely medzi Bézierovými a B-spline krivkami. Zmenou aspoň jedného riadiaceho bodu v Bézierovej krivke dostaneme iný tvar krivky. Toto však neplatí pri B-spline – zmena i -tého riadiaceho bodu zmení $C(u)$ iba na intervale $< u_i, u_{i+p+1} >$, kde p predstavuje stupeň krivky. Ďalším rozdielom je, že pri B-spline je stupeň krivky vstupným parametrom. Toto nám umožňuje, aby sme zostrojili B-splne krivku komplexného tvaru pri nízkom stupni, čo je pri Bézierovej krivke samotnej nemožné. Pokiaľ má uzlový vektor tvar $U = \{0, \dots, 0, 1, \dots, 1\}$ a platí $n = p$, tak sa B-spline zredukuje na Bézierovu krivku.

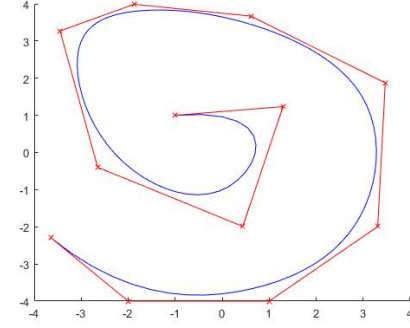
B-spline krivka teda zdedia vlastnosti Bézierovej, spomínané v predošej kapitole, medzi nimi afinnú invariantnosť. Vďaka nej nám stačí použiť afinnú transformáciu na riadiace body a zstrojiť pre ne B-spline. Nemusíme transformovať samotnú krivku. Použitie B-spline kriviek v počítačovej grafike má mnoho výhod, avšak sú to polynomiálne krivky, a tie sa nedajú použiť na vykreslenie kruhov, elips a podobných tvarov.

Na nasledujúcich obrázkoch sa nachádzajú B-spline krivky rôznych stupňov pri rovnakých riadiacich bodoch.

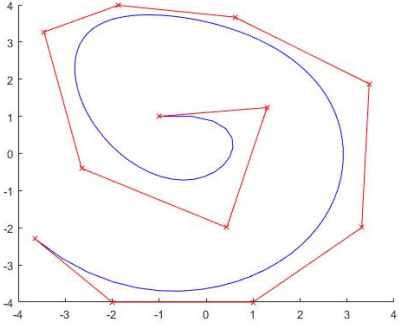
¹Preložené z anglického *clamped* – upnutý/vnorený. V českom jazyku sa používa výraz *plovoucí*.



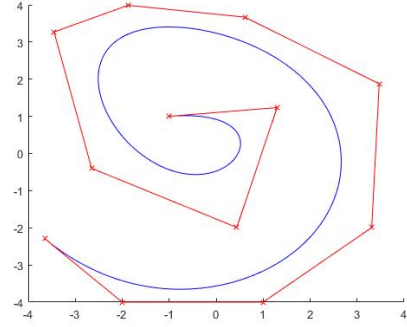
(a) stupeň 2



(b) stupeň 3



(a) stupeň 5



(b) stupeň 7

Obr. 11: B-spline krivky rôznych stupňov

2.5 B-spline plochy

Literatúra použitá v tejto kapitole je rovnaká ako v predošlej.

Definícia 2.10. Nech p a q sú stupne kriviek. Majme $m + 1$ riadkov a v každom riadku $n + 1$ riadiacich bodov $P_{i,j}$, kde $0 \leq i \leq m$ a $0 \leq j \leq n$ a uzlové vektory $U = \{u_0, \dots, u_r\}$ $V = \{v_0, \dots, v_s\}$ v nasledujúcim tvare:

$$\begin{aligned} U &= \{0, \dots, 0, u_{p+1}, \dots, u_{r-p-1}, 1, \dots, 1\} \\ V &= \{0, \dots, 0, v_{q+1}, \dots, v_{s-q-1}, 1, \dots, 1\}, \end{aligned} \quad (2.25)$$

(krajné uzly majú násobnosť $p + 1$ v U a $q + 1$ vo V).

Nech $\{u, v\}$ je dvojica čísel, pre ktoré platí: $u \in \langle u_0, u_r \rangle$ a $v \in \langle v_0, v_s \rangle$ a nech $N_{i,n}(u)$ a $N_{j,q}(v)$ sú bázové funkcie. Potom definujeme B-spline plochu takto:

$$S(u, v) = \sum_{i=0}^n \sum_{j=0}^m N_{i,p}(u) N_{j,q}(v) P_{i,j} \quad (2.26)$$

U má $r + 1$ uzlov a V má $s + 1$ uzlov. Indexy teda musia splňať nasledovné rovnice:

$$\begin{aligned} r &= n + p + 1 \\ s &= m + q + 1 \end{aligned} \quad (2.27)$$

V časti Programové spracovanie a rozbor sa dozvieme, ako zostrojiť B-spline krivku. Zameriame sa konkrétnie na De Boorov algoritmus, ktorý vychádza z riadiacich bodov, z nich spočíta ďalšie, až sa prepracuje k bodom, ktoré sa nachádzajú na hľadanej krivke.

2.5.1 Vlastnosti B-spline plôch

1. Nezápornosť bázových funkcií

$$\forall u, v, i, j, p, q : N_{i,p}(u)N_{j,q}(v) \geq 0$$

2. Bézierova plocha je špeciálny prípad B-spline plochy

pokiaľ $n = p$, $m = q$, $U = \{0, \dots, 0, 1, \dots, 1\}$ a $V = \{0, \dots, 0, 1, \dots, 1\}$, bázové funkcie sú Bernsteinove polynómy a výsledná plocha je Bézierova plocha.

3. Nulový prípad súčinu bázových funkcií

Pokiaľ sa $\{u, v\}$ nachádza mimo štvorca $< u_i, u_{i+p+1} >$ a $< v_j, v_{j+q+1} >$, súčin $N_{i,p}(u)N_{j,q}(v)$ je nulový.

4. Afínna invariantnosť

Platí ako aj pri krvkách. Aplikovaním affiného zobrazenia na riadiace body aplikujeme affinné zobrazenie na celú plochu.

5. Maximum plochy

Pri kladných stupňoch p, q B-spline plocha dosiahne práve jedno maximum.

6. Konvexný obal

Pri dvojici $\{u, v\}$ nachádzajúcej sa vo vnútri štvorca $< u_{i^*}, u_{i^*+p+1} >$ a $< v_{j^*}, v_{j^*+q+1} >$ platí, že plocha $S(u, v)$ je v konvexnom obale tvorenom riadiacimi bodmi $P_{i,j}$, kde $(i^* - p) \leq i \leq i^*$ a $(j^* - q) \leq j \leq j^*$.

7. Rohové body

B-spline plocha interpoluje štyri rohové body: $S(0, 0) = P_{0,0}$, $S(1, 1) = P_{1,1}$, $S(1, 0) = P_{n,0}$, $S(0, 1) = P_{0,m}$.

3 Programové spracovanie a rozbor

3.1 RANSAC s modelom všeobecnej rovnice roviny

Nasledujúci algoritmus hľadá aproximačnú rovinu pre m bodov definovanú všeobecnou rovnicou. Máme náhodnú vzorku trojice bodov A_1, A_2, A_3 v priestore a hľadáme rovinu v tvare:

$$ax + by + cz + d = 0 \quad (3.1)$$

Platí, že $\vec{w} = (a, b, c)$ je normálový vektor roviny. Najprv si spočítame zo vzorky bodov dva smerové vektory \vec{u}, \vec{v} .

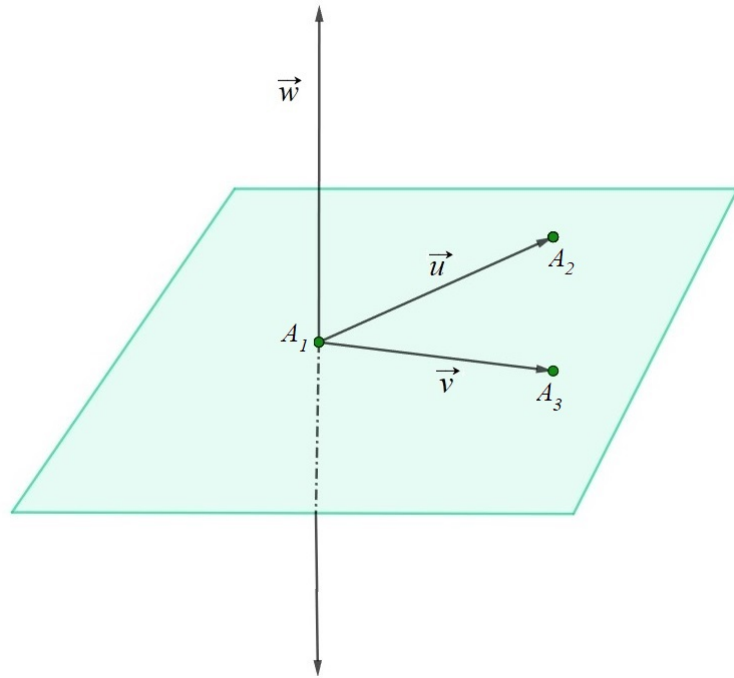
$$\begin{aligned} \vec{u} &= \overrightarrow{A_1 A_2} = A_2 - A_1 \\ \vec{v} &= \overrightarrow{A_1 A_3} = A_3 - A_1 \end{aligned} \quad (3.2)$$

Normálový vektor \vec{w} získame aplikovaním vektorového súčinu na smerové vektory \vec{u} a \vec{v} .

$$\vec{w} = \vec{u} \times \vec{v} \quad (3.3)$$

Koeficienty a, b, c dostaneme ako prvky normálového vektoru \vec{w} :

$$a = w(1), \quad b = w(2), \quad c = w(3) \quad (3.4)$$



Obr. 12: Znázornenie vektorov u, v, w testovacej roviny

Zostáva dopočítať štvrtý koeficient d . Do rovnice (3.1) dosadíme koeficienty a, b, c a bod $A_1 = [x_1, y_1, z_1]$. Potom si z nej vyjadríme d :

$$d = -ax_1 + by_1 - cz_1 \quad (3.5)$$

Teraz už máme všeobecnú rovnicu roviny vypočítanú zo vzorky dát. Overíme jej vhodnosť dosadením každého bodu $A_i = [x_i, y_i, z_i]$ do rovnice (2.2):

$$vzdial(A_i, \alpha) = \frac{|ax_i + by_i + cz_i + d|}{\sqrt{a^2 + b^2 + c^2}}, i = 1, \dots, m \quad (3.6)$$

Spočítame percento *inliers*. Pokiaľ je toto percento väčšie ako hraničná hodnota percenta, rovina je výhovujúca a výpočet môžeme ukončiť. Ak nie, zopakujeme výpočet pre inú vzorku náhodných bodov.

Vstupné hodnoty do funkcie:

A	matica, ktorej jednotlivé riadky predstavujú vstupné body
hran_v	hraničná vzdialenosť bodov od roviny, pre ktorú považujeme body za <i>inliers</i>
hran_p	minimálne percento <i>inliers</i>
p	pravdepodobosť nájdenia úspešného riešenia
w	pomer <i>inliers</i> k celkovému počtu bodov

Funkcia v MATLABE:

```
1 function [H]=ransac2(A,hran_v,hran_p,p,w)
2 % nastaveníme parametre na začiatku 0
3 it=0; a=0; b=0; c=0; d=0; perc=0;
4 m=size(A); % velkosť matice bodov
5 points=zeros(3,m(2));
6
7 k=log(1-p)/log(1-w^3); % výpočet potrebných iterácií
8
9 % cyklus sa zastaví pri presiahnutom počte iterácií alebo pri nájdení
10 % optimálneho riešenia
11 while (perc<hran_p) && (it<k)
12 % v každej iterácii vynulujeme premenné
13 vzdial=0; pocetbodov=0; perc=0;
14
15 t=randperm(m(1),m(2)); % náhodné indexy, podľa ktorých vyberieme
16 % vstupnú vzorku
17 for i=1:3
18     points(i,:)=A(t(i),:); % do každého riadku matice points vložíme
19     % postupne náhodné body
20 end
21
22 % výpočet koeficientov pomocou normálového vektoru roviny
23 u=points((2),:)-points((1),:); % smerový vektor u
24 v=points((3),:)-points((1),:); % smerový vektor v
25 w=cross(u,v); % vektorový súčin, w je normálový vektor roviny
26
27 % koeficienty roviny a,b,c sú zložky jej normálového vektoru
28 a=w(1); b=w(2); c=w(3);
29 % d vypočítame dosadením prvého bodu a koeficientov a,b,c do
30 % všeobecnej rovnice
31 d=-a*points((1),1)-b*points((1),2)-c*points((1),3);
32
33 % overíme optimálnosť roviny na základe vzdialenosťi
34 for i=1:m(1)
35     bod=A(i,:); % do premennej si uložíme vždy i-ty bod
36     % výpočet vzdialenosťi bodu od roviny
37     vzdial=abs(a*bod(1)+b*bod(2)+c*bod(3)+d)/sqrt(a^2+b^2+c^2);
38
39     % overíme, či sa bod nachádza pod hraničnou vzdialenosťou
40     if vzdial<=hran_v
41         pocetbodov=pocetbodov+1; % pripočítam bod
42     end
43 end
```

```

42 perc=pocetbodov/m(1)*100; % počet percent bodov, ktoré sú pod
43 hraničnou vzdialenosťou
44 it=it+1; % počítam iterácie
45 end
46 % koeficienty optimálnej roviny uložíme do matice H ako výstup funkcie
47 H=[a,b,c,d];

```

Majme 100 bodov, z ktorých 60 má z -tovú súradnicu 2.0 a zostávajúce ju majú posunutú náhodne o číslo z intervalu $< -0.2, 0.2 >$ a ďalšie vstupy:

Počet bodov	w	p	Hraničná vzdialenosť	Hraničné percento
100	0.6	0.85	0.1	80

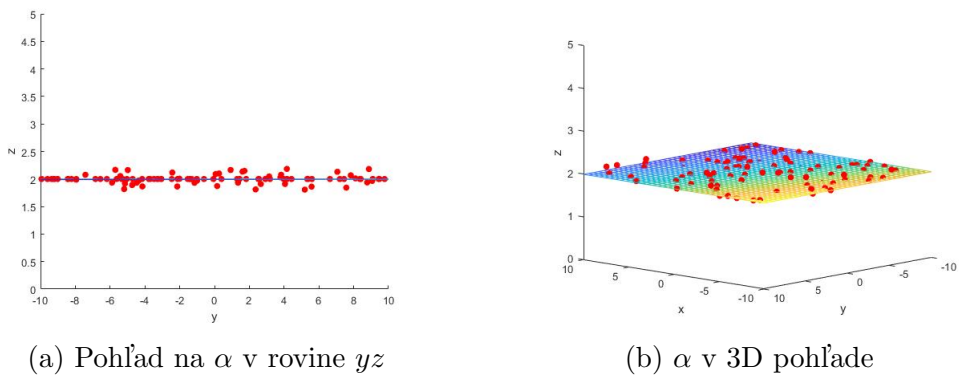
Program našiel rovinu, od ktorej je 81% bodov vzdialených nanajvýš 0.1. Označme túto rovinu α . Rovina α je na základe vstupných kritérií vyhovujúca a má rovnicu:

$$0.12x - 0.04y + 150.85z - 301.25 = 0 \quad (3.7)$$

Po úpravách dostávame rovnicu, ktorá sa podobá na $z = 2.0$.

$$7.96 \cdot 10^{-4}x - 2.65 \cdot 10^{-4}y + z = 2.001 \quad (3.8)$$

Rovina α :



Obr. 13: Metóda RANSAC použitá na výpočet roviny

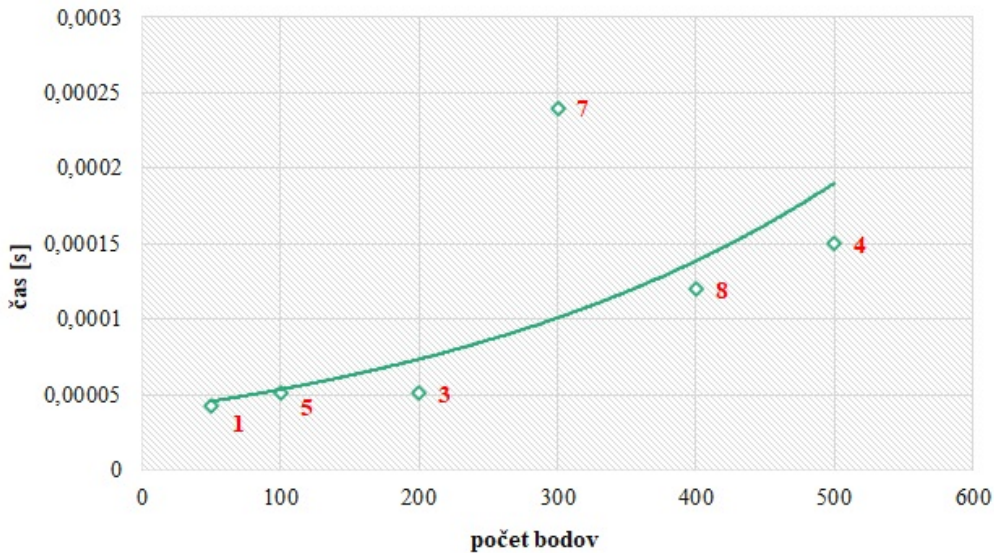
Ďalej sme pokračovali testovaním rýchlosť programu pri zmenách vstupných hodnôt a presnosť. Testy boli vykonávané v programe MATLAB s verziou R2020a na počítači s procesorom Intel Core i7 7700HQ s frekvenciou 2.8GHz a ôsmimi jadrami. Operačná pamäť tohto počítača bola 8GB.

3.1.1 Časové závislosti

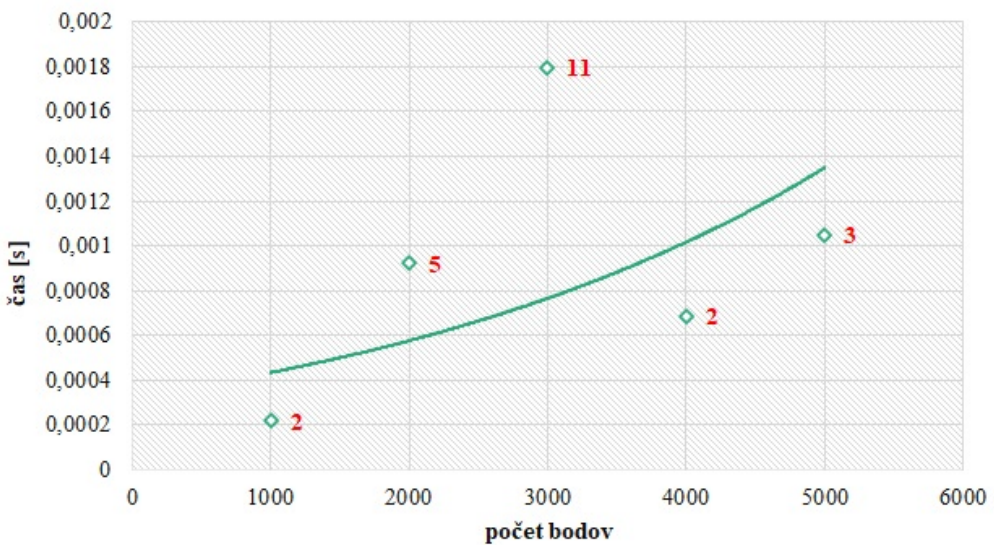
Na každom grafe sú červenou vyznačené počty iterácií pri jednotlivých bodoch grafu. Podľa toho môžeme lepšie pozorovať náročnosť výpočtu.

Počet vstupných bodov

Nasledujúce grafy znázorňujú priebeh časovej závislosti na počte vstupných bodov. Červené čísla pri bodoch sú počty iterácií, ktoré musel program vykonať, aby našiel riešenie.



Obr. 14: Graf závislosti času na počte vstupných bodov v stovkách

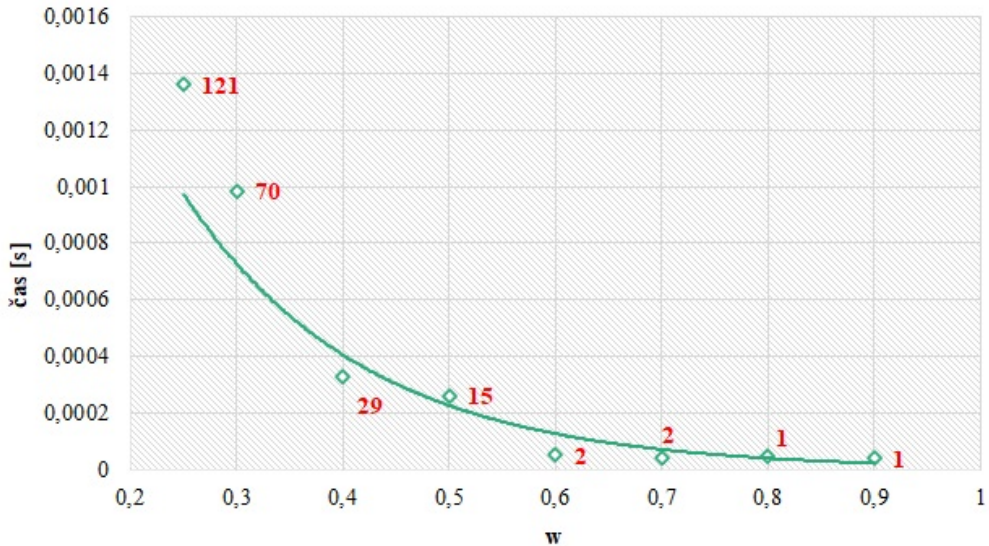


Obr. 15: Graf závislosti času na počte vstupných bodov v tisícach

Príliš veľa bodov dokáže zahľtiť procesor a oddialiť nájdenie výsledku. Avšak, čím viac bodov máme, tým je väčšia šanca na to, aby sme sa trafili do tých neposunutých. Výpočet je jednoduchý, preto ho počítač zvládne za krátku dobu aj pri väčšom množstve bodov.

w – pomer *inliers* k celkovému počtu bodov

Ako bolo zmienené v teoretickej časti RANSAC, w predstavuje pomer *inliers* k celkovému počtu bodov. Je to číslo z intervalu $< 0, 1 >$.

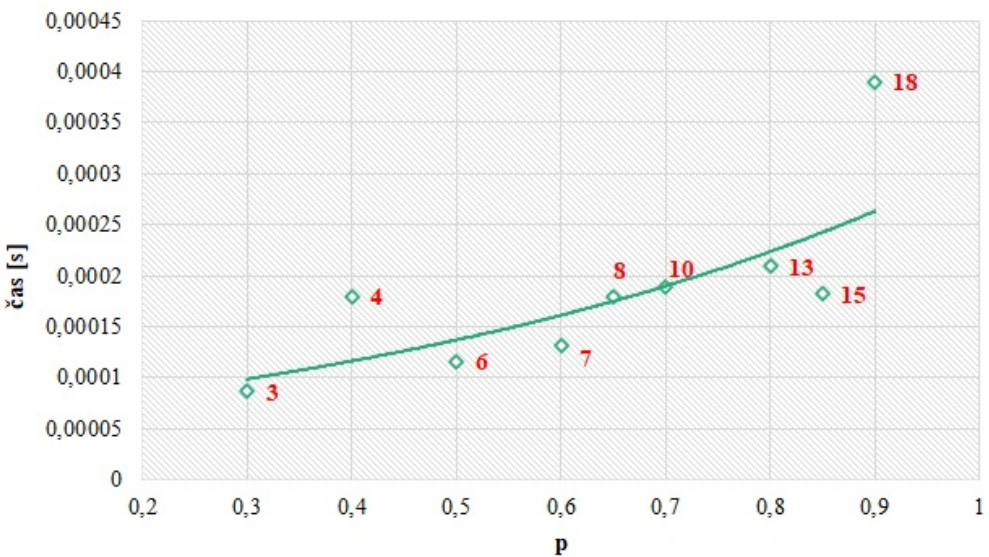


Obr. 16: Graf závislosti času na w – pomer *inliers* k celkovému počtu bodov

Čím bude počet *inliers* vyšší vzhľadom k celkovému počtu bodov, tým bude hľadanie vhodnej roviny zaberať menej času, a teda bude stačiť nižší počet iterácií.

p – pravdepodobnosť nájdenia úspešného riešenia

Vstupná hodnota $p \in < 0, 1 >$ predstavuje pravdepodobnosť nájdenia úspešného riešenia. Počet iterácií k z rovnice (2.1) sa so stúpajúcou hodnotou p zvyšuje.



Obr. 17: Graf závislosti času na p – pravdepodobnosť nájdenia úspešného riešenia

Pri zvyšovaní p sa zvýší počet iterácií, aby bol program účinnejší v hľadaní vyhovujúcej roviny. Pri príliš nízkom p sa môže stať, že počet iterácií na predpokladané nájdenie riešenia je nedostatočný, výpočet sa ukončí, ale riešenie sa nenájde. V tomto prípade program počíta iba pár iterácií, ale bez výsledku. Je dobré voliť vyššiu hodnotu p , aby bolo zaručené nájdenie optimálneho riešenia.

3.2 RANSAC s modelom kvadratickej plochy

S využitím znalostí Lagrangeových multiplikátorov sa môžeme posunúť na hľadanie optimálnej kvadratickej plochy.

Lagrangeove multiplikátory použijeme na minimalizovanie vzdialenosťi bodu $X = [x_0, y_0, z_0]$ od plochy spočítanej metódou RANSAC. Zostavili sme Lagrangeovu funkciu a spravili parciálne derivácie podľa jednotlivých premenných, vrátane Lagrangeovho multiplikátoru λ .

Máme funkciu kvadrátu vzdialenosťi:

$$f(x, y, z) = (x - x_0)^2 + (y - y_0)^2 + (z - z_0)^2 \quad (3.9)$$

a funkciu kvadratickej plochy, ktorá je jej väzbovou podmienkou:

$$ax^2 + by^2 + cx + dy + exy + f - z = 0 \quad (3.10)$$

Zostavíme Lagrangeovu funkciu:

$$L = (x - x_0)^2 + (y - y_0)^2 + (z - z_0)^2 + \lambda(ax^2 + by^2 + cx + dy + exy + f - z) \quad (3.11)$$

Spočítame jej parciálne derivácie podľa x, y, z, λ a položíme ich rovné 0:

$$\frac{\partial L}{\partial x} = 0, \quad \frac{\partial L}{\partial y} = 0, \quad \frac{\partial L}{\partial z} = 0, \quad \frac{\partial L}{\partial \lambda} = 0 \quad (3.12)$$

Riešením tohto systému rovníc získame lokálne extrémy funkcie L a tým pádom aj lokálne viazané extrémy rovnice (3.9) s podmienkou (3.10).

Po vyriešení rovníc vyberieme z lokálnych viazaných extrémov minimum, a to je výstup našej funkcie.

Vstupné hodnoty do funkcie:

$[x_0, y_0, z_0]$	súradnice bodu, ktorého vzdialosť počítame
G	vektor koeficientov plochy

Funkcia naprogramovaná v MATLABE vyzerá nasledovne:

```

1 function [dmin]=lagrangenmult(x0,y0,z0,G)
2
3 syms x y z lambda
4 a=G(1); b=G(2); c=G(3); d=G(4); e=G(5); f=G(6); % koeficienty z matice
5 % uložíme do premenných
6 L = (x-x0)^2 + (y-y0)^2 + (z-z0)^2 + lambda*(a*x^2 + b*y^2 + c*x + d*y
+ e*x*y + f - z); %lagrangeova funkcia

```

```

7
8 % parciálne derivácie L podla premenných
9 dL_dx      = diff(L,x)      == 0;
10 dL_dy     = diff(L,y)      == 0;
11 dL_dz     = diff(L,z)      == 0;
12 dL_dlambda = diff(L,lambda) == 0;
13
14 % systém 4 rovnic
15 system = [dL_dx, dL_dy, dL_dz, dL_dlambda];
16
17 % výpočet cez vpasolve
18 [xs, ys, zs, ls] = vpasolve(system, [x, y, z, lambda], [-Inf Inf;-Inf
19 Inf;-Inf Inf;-Inf Inf;]);
20
21 % počet výsledkov
22 numberOfRowsSolutions = size(xs, 1);
23
24 % hľadanie minimálneho kvadrátu vzdialenosťi
25 dmin=(xs(1)-x0)^2 + (ys(1)-y0)^2 + (zs(1)-z0)^2;
26
27 for i = 2:numberOfSolutions % vyberáme minimálny kvadrát zo všetkých
28   riešení systému rovníc
29   d(i)=(xs(i)-x0)^2 + (ys(i)-y0)^2 + (zs(i)-z0)^2;
30   if d(i)<dmin
31     dmin=d(i);
32   end
33 end
34 end

```

Minimálnu vzdialenosť bodu od kvadratickej plochy už vypočítalať dokážeme, môžeme prejsť na samotný RANSAC. V tomto prípade hľadáme plochu charakterizovanú rovnicou $ax^2 + by^2 + cx + dy + exy + f - z = 0$. Na výpočet koeficientov a až f potrebujeme 6 bodov $A_i = [x_i, y_i, z_i]$, kde $i = 1, \dots, 6$. Maticový prepis bude:

$$\begin{bmatrix} x_1^2 & y_1^2 & x_1 & y_1 & x_1y_1 & 1 \\ x_2^2 & y_2^2 & x_2 & y_2 & x_2y_2 & 1 \\ x_3^2 & y_3^2 & x_3 & y_3 & x_3y_3 & 1 \\ x_4^2 & y_4^2 & x_4 & y_4 & x_4y_4 & 1 \\ x_5^2 & y_5^2 & x_5 & y_5 & x_5y_5 & 1 \\ x_6^2 & y_6^2 & x_6 & y_6 & x_6y_6 & 1 \end{bmatrix} \times \begin{bmatrix} a \\ b \\ c \\ d \\ e \\ f \end{bmatrix} = \begin{bmatrix} z_1 \\ z_2 \\ z_3 \\ z_4 \\ z_5 \\ z_6 \end{bmatrix} \quad (3.13)$$

Túto rovnicu prepíšeme symbolicky:

$$Q \times G = R \quad (3.14)$$

Koeficienty vypočítame upravenou rovnicou:

$$G = Q^{-1} \times R \quad (3.15)$$

Po získaní koeficientov nastáva opäť overenie optimálnosti plochy. Vezmeme každý bod $A_i = [x_i, y_i, z_i]$ zo vstupných a vypočítame jeho vzdialenosť od plochy funkciou `lagrangemult`. Výstup z nej bude minimálna kvadratická vzdialenosť každého bodu od testovacej plochy.

Opakujeme predošlý postup. Spočítame percento *inliers*. Túto hodnotu porovnáme so

vstupným parametrom hraničné percento. Pokiaľ je vyššia, plocha je optimálna, výpočet je dokončený. Pokiaľ nie je, celý výpočet sa zopakuje pre ďalsiu náhodnú vzorku dát.

Vstupné hodnoty do funkcie:

A	matica, ktorej jednotlivé riadky predstavujú vstupné body
hran_v	hraničná kvadratická vzdialenosť bodov od plochy,
	pre ktorú považujeme body za <i>inliers</i>
hran_p	minimálne percento <i>inliers</i>
p	pravdepodobosť nájdenia úspešného riešenia
w	pomer <i>inliers</i> k celkovému počtu bodov

Funkcia metódy RANSAC pre nájdenie kvadratickej plochy:

```

1 function [H]=ransac1(A,hran_v,hran_p,p,w)
2 % nastaveníme parametre na začiatku 0
3 it=0;
4 a=0; b=0; c=0; d=0; e=0; f=0;
5 perc=0;
6 m=size(A); % velkosť matice bodov
7 points=zeros(6,m(2));
8
9 k=log(1-p)/log(1-w^6); % výpočet potrebných iterácií
10
11 % cyklus sa zastaví pri presiahnutom počte iterácií alebo pri nájdení
12 % optimálneho riešenia
13 while (perc<hran_p) && (it<k)
14 % v každej iterácii vynulujeme premenné
15 vzdial=0;
16 pocetbodov=0;
17 perc=0;
18
19 % náhodné indexy, podľa ktorých vyberieme vstupnú vzorku
20 t=randperm(m(1),6);
21 for i=1:6
22 % do každého riadku matice data vložíme postupne náhodné body
23 data(i,:)=A(t(i),:);
24 end
25
26 %vypočet a,b,c,d,e,f pomocou sústavy rovníc
27
28 %rovnice sú tvaru: G*Q=R, G=[a; b; c; d; e; f]... matica neznámych
29
30 Q=zeros(6,6);
31 Q(:,1)=data(:,1).^2; Q(:,2)=data(:,2).^2; Q(:,3)=data(:,1);
32 Q(:,4)=data(:,2); Q(:,5)=data(:,1).*data(:,2); Q(:,6)=ones(1,6)';
33 R=data(:,3);
34
35 G=Q\R; % matica výsledkov
36
37 % vypočítane koeficienty sú prvky G
38 a=G(1); b=G(2); c=G(3); d=G(4); e=G(5); f=G(6);
39
40 % overíme optimálnosť plochy na základe vzdialenosťi

```

```

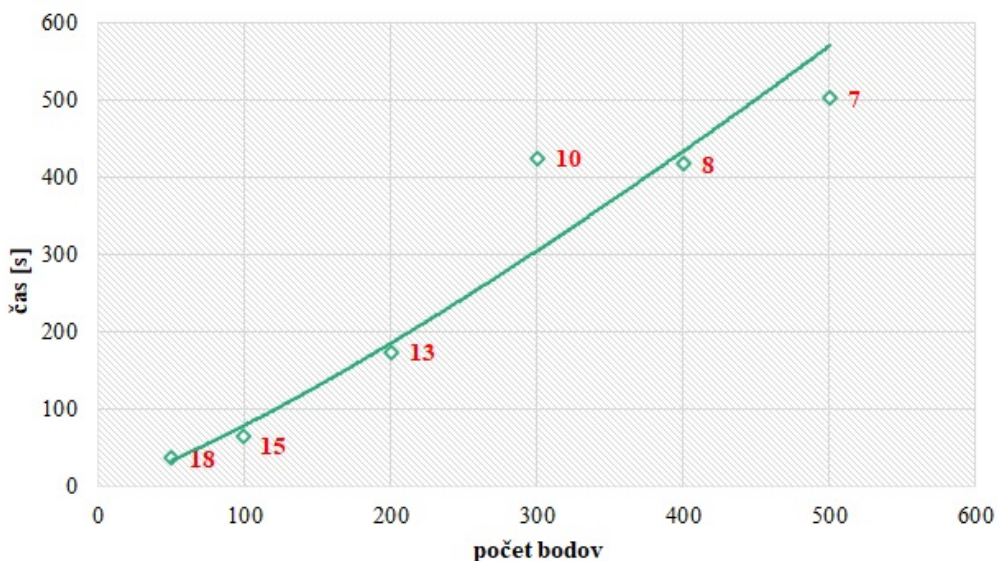
41 for i=1:m(1)
42     bod=A(i,:); % do premennej si uložíme vždy i-ty bod
43
44     % výpočet vzdialenosťi bodu od kvadratickej plochy
45     [vzdial]=lagrangenmult(bod(1),bod(2),bod(3),G);
46
47     % overíme, či sa bod nachádza pod hraničnou vzdialenosťou
48     if vzdial<hran_v
49         pocetbodov=pocetbodov+1; % pripočítame bod
50     end
51 end
52
53 perc=pocetbodov/m(1)*100; % počet percent bodov, ktoré sú pod
54 hraničnou vzdialenosťou
55
56 it=it+1; %iterácie
57
58 H=[a,b,c,d,e,f]; % výstup pre funkciu
59 end

```

3.2.1 Časové závislosti

V prípade kvadratickej plochy je výpočet vzdialenosťi náročnejší. Vzdialosť sa musí spočítať pre každý bod vždy ku každej testovacej ploche. Funkcia `vpasolve` použitá v programe hľadá všetky reálne riešenia sústavy rovníc parciálnych derivácií. Červené čísla opäť predstavujú počty iterácií, ktoré prebehli, kým sa výpočet ukončil.

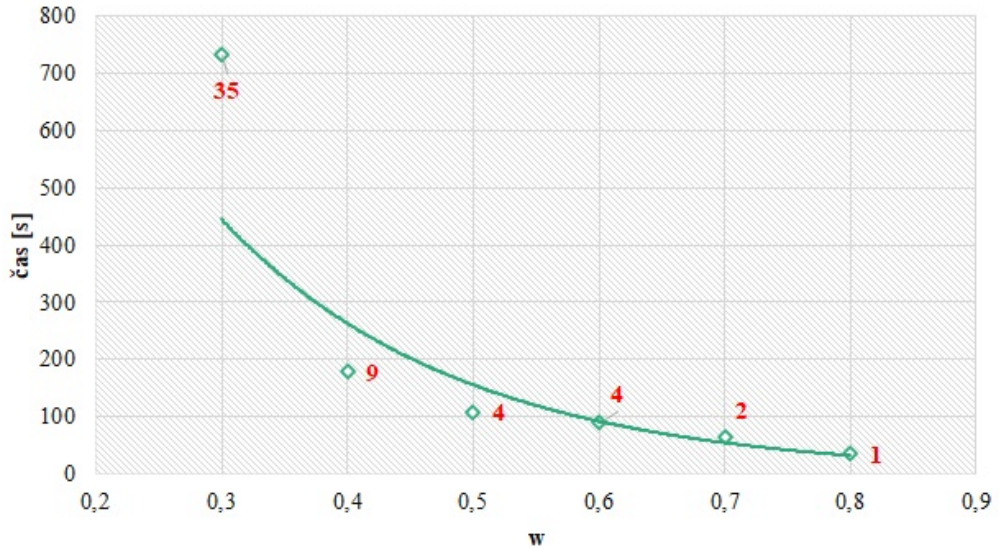
Počet vstupných bodov



Obr. 18: Graf závislosti času na počte vstupných bodov v stovkách

Závislosť vyzerá podobne ako pri predošlom programe. S rastúcim počtom bodov je väčšia pravdepodobnosť, že sa traďme do *inliers*, lenže pribúda počet bodov, ktorých vzdialosť musíme spočítať, preto výpočet trvá dlhšie.

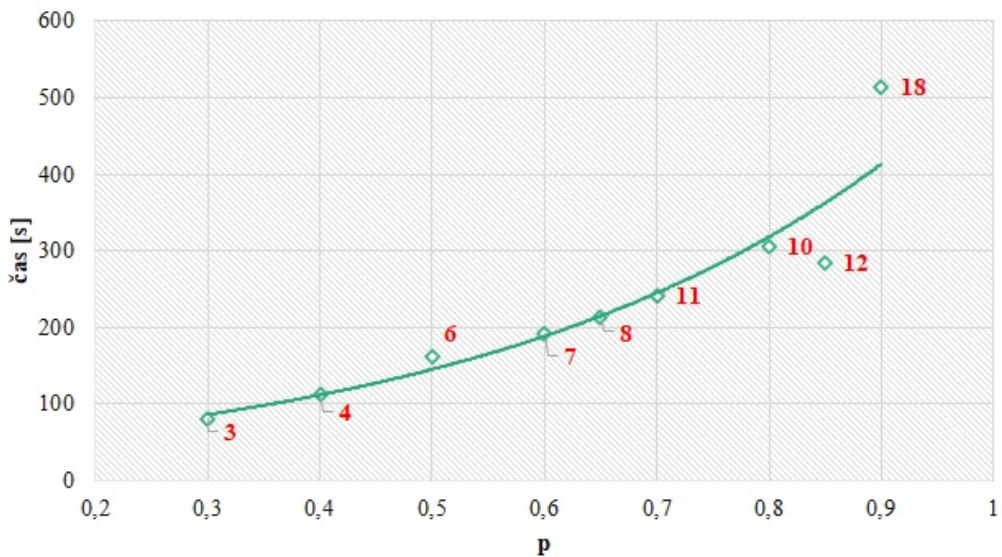
w – pomer *inliers* k celkovému počtu bodov



Obr. 19: Graf závislosti času na w – pomer *inliers* k celkovému počtu bodov

Krivka má klesajúcu tendenciu. Opäť si môžeme všimnúť, že pri väčšom množstve *inliers* program nájde riešenie rýchlejšie.

p – pravdepodobnosť nájdenia úspešného riešenia



Obr. 20: Graf závislosti času na p – pravdepodobnosť nájdenia úspešného riešenia

Pri vyššom p výpočet trvá dlhšie, ale je väčšia pravdepodobnosť, že program nájde optimálne riešenie. Pri nižšom p sa môže stať, že výpočet sa ukončí skôr, ale riešenie sa nenájde.

3.3 Metóda najmenších štvorcov

Ďalšia aproximačná metóda je metóda najmenších štvorcov.

3.3.1 Všeobecná rovnica roviny

Opäť máme rovinu α zadanú všeobecnotou rovnicou:

$$\dot{ax} + \dot{by} + \dot{cz} + \dot{d} = 0 \quad (3.16)$$

Túto rovnicu upravíme na tvar:

$$ax + by + c - z = 0 \quad (3.17)$$

Každý bod $A_i = [x_i, y_i, z_i]$, ktorý sa nachádza na α , má nulovú odchýlku od tejto roviny a spĺňa rovnicu (3.17). Pri aplikovaní metódy najmenších štvorcov na n bodov teda chceme minimalizovať súčet všetkých $ax_i + by_i + c - z_i$ v kvadráte:

$$\min\left(\sum_{i=1}^n (ax_i + by_i + c - z_i)^2\right) \quad (3.18)$$

Označne si sumačný výraz z (3.18):

$$F_1 = \sum_{i=1}^n (ax_i + by_i + c - z_i)^2 \quad (3.19)$$

Hľadáme minimum F_1 . Body podozrivé z extrému dostaneme, keď parciálne derivácie prvého rádu podľa koeficientov a, b, c položíme rovné nule.

$$\begin{aligned} \frac{\partial F_1}{\partial a} &= \sum_{i=1}^n 2(ax_i + by_i + c - z_i)x_i = 0 \\ \frac{\partial F_1}{\partial b} &= \sum_{i=1}^n 2(ax_i + by_i + c - z_i)y_i = 0 \\ \frac{\partial F_1}{\partial c} &= \sum_{i=1}^n 2(ax_i + by_i + c - z_i) = 0 \end{aligned} \quad (3.20)$$

Sústavu rovníc upravíme a prepíšeme pomocou matíc:

$$\begin{bmatrix} \sum_{i=1}^n x_i^2 & \sum_{i=1}^n x_i y_i & \sum_{i=1}^n x_i \\ \sum_{i=1}^n x_i y_i & \sum_{i=1}^n y_i^2 & \sum_{i=1}^n y_i \\ \sum_{i=1}^n x_i & \sum_{i=1}^n y_i & \sum_{i=1}^n 1 \end{bmatrix} \times \begin{bmatrix} a \\ b \\ c \end{bmatrix} = \begin{bmatrix} \sum_{i=1}^n x_i z_i \\ \sum_{i=1}^n y_i z_i \\ \sum_{i=1}^n z_i \end{bmatrix} \quad (3.21)$$

Túto rovnicu môžeme symbolicky prepísat:

$$S_1 \times K_1 = P_1 \quad (3.22)$$

Koeficienty a, b, c vypočítame ako prvky matice K_1 :

$$K_1 = S_1^{-1} \times P_1 \quad (3.23)$$

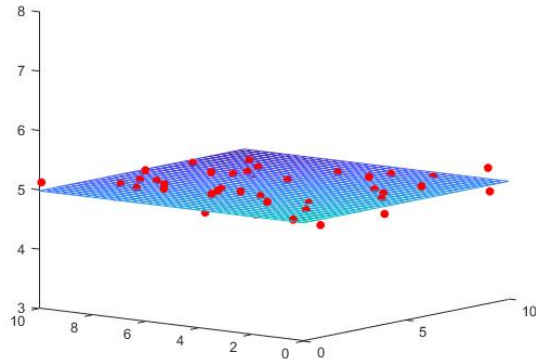
Vstupný parameter do funkcie je matica, ktorej jednotlivé riadky predstavujú vstupné body. Túto maticu označíme A .

Funkcia metódy najmenších štvorcov pre nájdenie všeobecnej rovnice roviny:

```

1 function [K1]=MNC(A)
2 % výpočet súm do rovnice:
3 sumx=sum(A(:,1));
4 sumy=sum(A(:,2));
5 sumz=sum(A(:,3));
6
7 sumxx=sum(A(:,1).^2);
8 sumyy=sum(A(:,2).^2);
9
10 sumxy=sum((A(:,1)).*(A(:,2)));
11 sumxz=sum((A(:,1)).*(A(:,3)));
12 sumyz=sum((A(:,2)).*(A(:,3)));
13
14 S1=[sumxx sumxy sumx;
15     sumxy sumyy sumy;
16     sumx sumy size(A,1)];
17
18 P1=[sumxz; sumyz; sumz];
19
20 K1=S1\P1;
21 end
22

```



Obr. 21: Metóda najmenších štvorcov použitá na všeobecnú rovinu roviny

3.3.2 Kvadratická plocha

Máme zadanú kvadratickú rovinu rovnicou:

$$ax^2 + by^2 + cx + dy + exy + f - z = 0 \quad (3.24)$$

Opäť potrebujeme nájsť minimum $(ax_i^2 + by_i^2 + cx_i + dy_i + ex_iy_i + f - z_i)^2$ pre všetky body $A_i = [x_i, y_i, z_i]$, kde $i = 1, \dots, n$:

$$\min\left(\sum_{i=1}^n (ax_i^2 + by_i^2 + cx_i + dy_i + ex_iy_i + f - z_i)^2\right) \quad (3.25)$$

Označme si sumačný výraz z (3.25):

$$F_2 = \sum_{i=1}^n (ax_i^2 + by_i^2 + cx_i + dy_i + ex_iy_i + f - z_i)^2 \quad (3.26)$$

Vykonajme parciálne derivácie podľa koeficientov a, b, c, d, e, f a položme ich rovné 0:

$$\begin{aligned} \frac{\partial F_2}{\partial a} &= \sum_{i=1}^n 2(ax_i^2 + by_i^2 + cx_i + dy_i + ex_iy_i + f - z_i)x_i^2 = 0 \\ \frac{\partial F_2}{\partial b} &= \sum_{i=1}^n 2(ax_i^2 + by_i^2 + cx_i + dy_i + ex_iy_i + f - z_i)y_i^2 = 0 \\ \frac{\partial F_2}{\partial c} &= \sum_{i=1}^n 2(ax_i^2 + by_i^2 + cx_i + dy_i + ex_iy_i + f - z_i)x_i = 0 \\ \frac{\partial F_2}{\partial d} &= \sum_{i=1}^n 2(ax_i^2 + by_i^2 + cx_i + dy_i + ex_iy_i + f - z_i)y_i = 0 \\ \frac{\partial F_2}{\partial e} &= \sum_{i=1}^n 2(ax_i^2 + by_i^2 + cx_i + dy_i + ex_iy_i + f - z_i)x_iy_i = 0 \\ \frac{\partial F_2}{\partial f} &= \sum_{i=1}^n 2(ax_i^2 + by_i^2 + cx_i + dy_i + ex_iy_i + f - z_i) = 0 \end{aligned} \quad (3.27)$$

Sústavu prepíšeme do maticového tvaru:

$$\begin{bmatrix} \sum_{i=1}^n x_i^4 & \sum_{i=1}^n x_i^2 y_i^2 & \sum_{i=1}^n x_i^3 & \sum_{i=1}^n x_i^2 y_i^2 & \sum_{i=1}^n x_i^3 y_i & \sum_{i=1}^n x_i^2 \\ \sum_{i=1}^n x_i^2 y_i^2 & \sum_{i=1}^n y_i^4 & \sum_{i=1}^n x_i y_i^2 & \sum_{i=1}^n y_i^3 & \sum_{i=1}^n x_i y_i^3 & \sum_{i=1}^n y_i^2 \\ \sum_{i=1}^n x_i^3 & \sum_{i=1}^n x_i y_i^2 & \sum_{i=1}^n x_i^2 & \sum_{i=1}^n x_i y_i & \sum_{i=1}^n x_i^2 y_i & \sum_{i=1}^n x_i \\ \sum_{i=1}^n x_i^2 y_i & \sum_{i=1}^n y_i^3 & \sum_{i=1}^n x_i y_i & \sum_{i=1}^n y_i^2 & \sum_{i=1}^n x_i y_i^2 & \sum_{i=1}^n y_i \\ \sum_{i=1}^n x_i^3 y_i & \sum_{i=1}^n x_i y_i^3 & \sum_{i=1}^n x_i^2 y_i & \sum_{i=1}^n x_i y_i^2 & \sum_{i=1}^n x_i^2 y_i^2 & \sum_{i=1}^n x_i y_i \\ \sum_{i=1}^n x_i^2 & \sum_{i=1}^n y_i^2 & \sum_{i=1}^n x_i & \sum_{i=1}^n y_i & \sum_{i=1}^n x_i y_i & \sum_{i=1}^n 1 \end{bmatrix} \times \begin{bmatrix} a \\ b \\ c \\ d \\ e \\ f \end{bmatrix} = \begin{bmatrix} \sum_{i=1}^n x_i^2 z_i \\ \sum_{i=1}^n y_i^2 z_i \\ \sum_{i=1}^n x_i z_i \\ \sum_{i=1}^n y_i z_i \\ \sum_{i=1}^n x_i y_i z_i \\ \sum_{i=1}^n z_i \end{bmatrix} \quad (3.28)$$

Túto rovnicu si prepíšeme symbolicky:

$$S_2 \times K_2 = P_2 \quad (3.29)$$

Koeficienty a, b, c, d, e, f spočítame ako prvky matice K_2 :

$$K_2 = S_2^{-1} \times P_2 \quad (3.30)$$

Vstupný parameter do funkcie je matica, ktorej jednotlivé riadky predstavujú vstupné body. Túto maticu označíme A .

Funkcia metódy najmenších štvorcov pre nájdenie kvadratickej plochy:

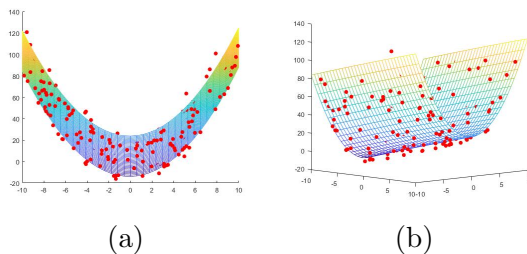
```

1 function [K2]=KVMNC(A)
2 % výpočet súm do rovnice
3 sumx=sum(A(:,1));
4 sumy=sum(A(:,2));
5 sumz=sum(A(:,3));
6
7 sumxx= sum(A(:,1).^2);
8 sumyy= sum(A(:,2).^2);
9
10 sumxy= sum((A(:,1)).*(A(:,2)));
11 sumxz= sum((A(:,1)).*(A(:,3)));
12 sumyz= sum((A(:,2)).*(A(:,3)));
13
14 sumxxy= sum(A(:,1).^2.*A(:,2));
15 sumxxx= sum(A(:,1).^2.*A(:,3));
16 sumyyz= sum(A(:,2).^2.*A(:,3));
17 sumxyy= sum(A(:,1).*A(:,2).^2);
18
19 sumxxx= sum(A(:,1).^3);
20 sumyyy= sum(A(:,2).^3);
21 sumxyz= sum(A(:,1).*A(:,2).*A(:,3));
22
23 sumxxxx= sum(A(:,1).^4);
24 sumyyy= sum(A(:,2).^4);
25
26 S2=[sumxxxx sumxxxy sumxxx sumxxy sumxxxxy sumxx;
27 sumxxxy sumyyy sumxxy sumyyy sumxxyy sumyy;
28 sumxxx sumxxy sumxx sumxy sumxxy sumx;
29 sumxxy sumyyy sumxy sumyy sumxxy sumy;
30 sumxxxxy sumxyyy sumxxy sumxxy sumxxxxy sumxy;
31 sumxx sumyy sumx sumy sumxy size(A,1)];
32
33 P2=[sumxxz; sumyyz; sumxz; sumyz; sumxyz; sumz];
34
35 K2=S2\P2;
36
37 end
38
39
40
41

```

Na nasledujúcich obrázkoch sa nachádza kvadratická plocha definovaná rovnicou:

$$z = -0.005x^2 + 0.997y^2 + 1.88x + 0.16y - 0.002xy + 5.51 \quad (3.31)$$



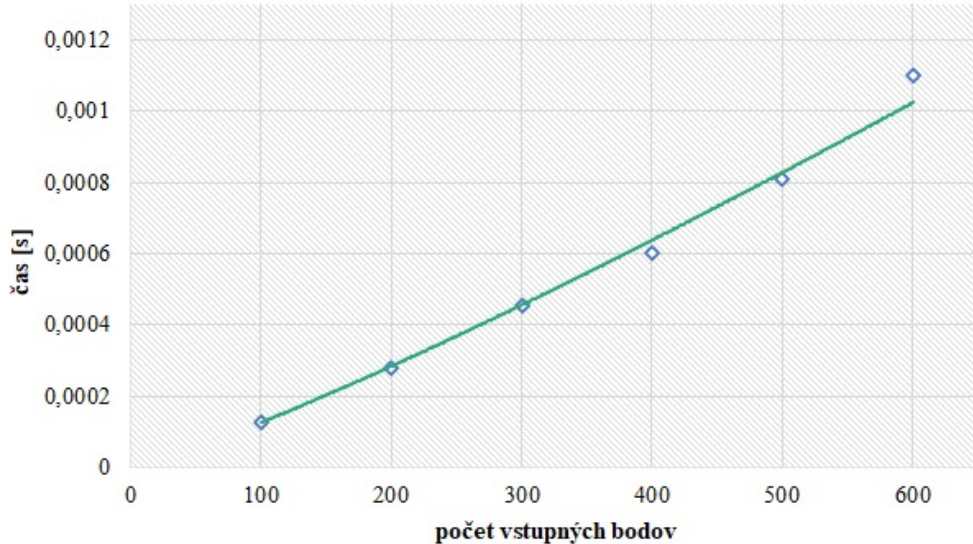
Obr. 22: Metóda najmenších štvorcov použitá na model kvadratickej roviny

3.3.3 Časové závislosti

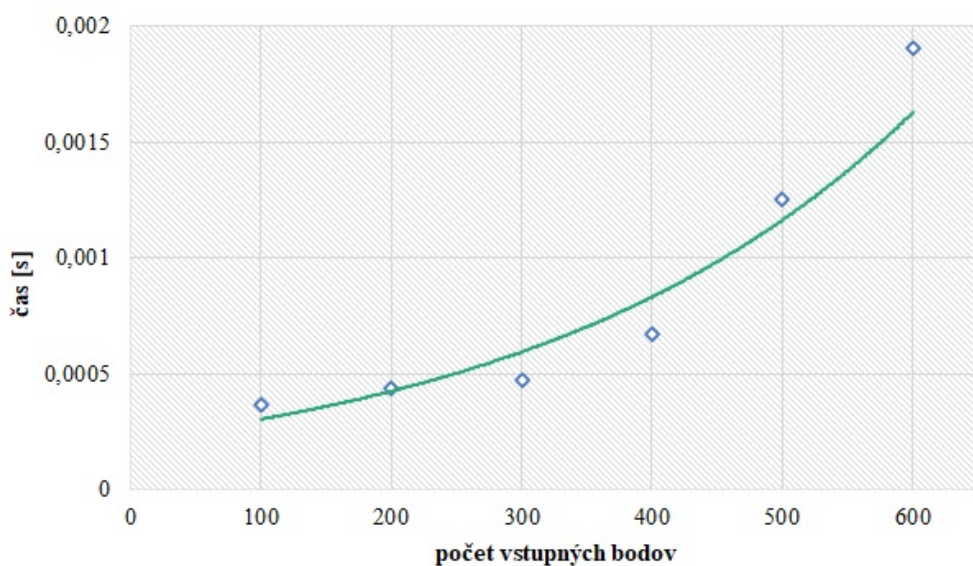
Teraz sa pozrieme na závislosť času na počte vstupných bodov pre metódu najmenších štvorcov.

Počet riadiacich bodov

Na nasledujúcom obrázku sa nachádzajú grafy závislosti času na počte vstupných bodov pre metódu najmenších štvorcov.



Obr. 23: Graf závislosti času na počte riadiacich bodov pre rovinu



Obr. 24: Graf závislosti času na počte riadiacich bodov pre kvadratickú plochu

V oboch prípadoch majú grafy obdobný priebeh. V prípade kvadratickej plochy je výpočet o niečo náročnejší, preto sú namerané hodnoty času väčšie ako pri všeobecnej

rovnici roviny. Čím viac bodov vstúpi do funkcie, tým bude výpočet časovo náročnejší. Je to spôsobené jednotlivými sumami, ktoré sa nachádzajú v maticových rovniciach.

3.4 B-spline

V tejto časti práce sa pozrieme na vytvorenie B-spline plochy. Aby sme ju vytvorili, musíme najprv vedieť vytvoriť B-spline krivku z riadiacich bodov. Zopakujeme si jej definíciu:

Definícia 3.1. Nech p je stupeň krivky, P_i sú riadiace body s počtom $n + 1$ a $U = \{u_0, \dots, u_p, u_{p+1}, \dots, u_{m-p-1}, u_{m-p}, \dots, u_m\}$ je uniformný uzlový vektor, kde prvých $p+1$ uzlov sú nuly a posledných $p+1$ uzlov sú jednotky. Ďalej nech $N_{i,p}(u)$ je bázová funkcia. B-spline krivka má potom tento tvar:

$$C(u) = \sum_{i=0}^p N_{i,p}(u) P_i, \quad u \in \langle u_0, u_m \rangle \quad (3.32)$$

Na jej výpočet môžeme použiť viaceru algoritmov. Jedným z nich je de Casteljau algoritmus, ktorý využíva rekurzívnu vlastnosť B-spline bázových funkcií $N_{i,p}(u)$. Ďalším z nich, De Boorov algoritmus, je zovšeobecnením de Casteljau algoritmu, a naň sa v tejto práci zameriame.

3.4.1 De Boorov algoritmus

De Boorov algoritmus je rýchly a numericky stabilný algoritmus, ktorý slúži na nájdenie bodu B-spline krivky. Tento bod vypočíta pomocou riadiacich bodov.

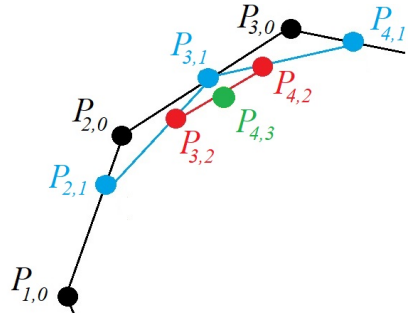
vstupné hodnoty: parameter $u \in \langle u_0, u_m \rangle$, uzlový vektor U , riadiace body P_i
výstupná hodnota: bod na krivke B-spline $C(u)$

Algorithm 1: De Boorov algoritmus

```

Ak  $u \in \langle u_k, u_{k+1} \rangle \wedge u \neq u_k$ , potom  $h = p$  a  $s = 0$ 
Ak  $u = u_k$  a  $u_k$  je uzol multiplicity  $s$ , potom  $h = p - s$ 
Afektované riadiace body  $P_{k-s}, P_{k-s-1}, \dots, P_{k-p}$  skopírujeme do nového poľa a
    premenujeme na  $P_{k-s,0}, P_{k-s-1,0}, \dots, P_{k-p,0}$ .
for  $r=1$  to  $h-s$  do
    for  $i=k-p+r$  to  $k-s$  do
         $a_{i,r} = (u - u_i) / (u_{i+p-r+1} - u_i)$ 
         $P_{i,r} = (1 - a_{i,r})P_{i-1,r-1} + a_{i,r}P_{i,r-1}$ 
    end
end
 $P_{k-s,p-s}$  je bod  $C(u)$ 

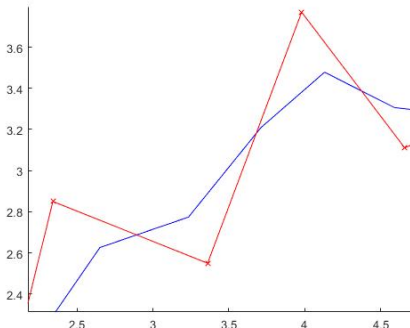
```



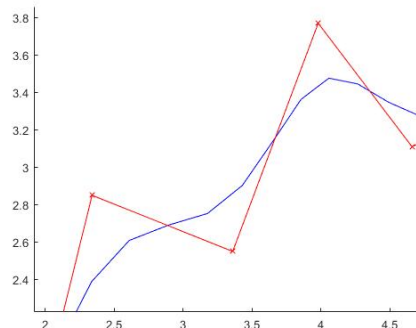
Obr. 25: Výpočet bodov De Boorovým algoritmom

Takto získame jeden bod B-spline krivky pre konkrétnu hodnotu parametra u . Na získanie celej krivky vypočítame jednotlivé $P_{k-s,p-s}$ pre delenie intervalu $< u_0, u_m >$, ktoré si sami zvolíme. Čím jemnejšie delenie zvolíme, tým budú body krivky hustejšie a krivka môže nadobudnúť takmer spojity tvar pre ľudské oko.

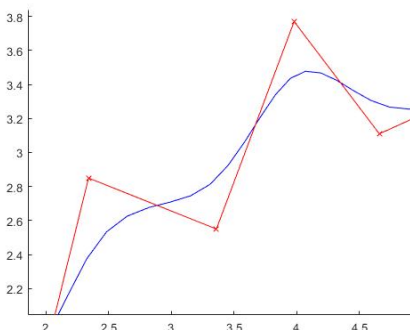
Na nasledujúcich obrázkoch vidíme B-spline krivky stupňa 2 s rovnakými riadiacimi bodmi pri rôznom delení intervalu $< u_0, u_m >$. Pohľad je zväčšený, aby sme mohli lepšie vidieť rozdiely.



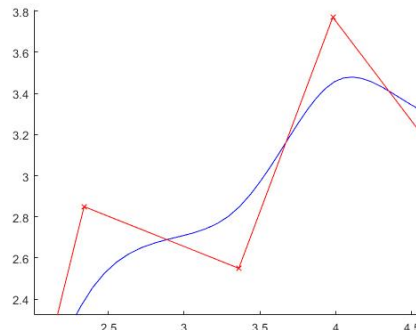
(a) 15 deliacich sekvencií



(b) 30 deliacich sekvencií



(a) 50 deliacich sekvencií



(b) 100 deliacich sekvencií

Obr. 27: B-spline krivky s rôznym počtom deliacich sekvencií

Teraz si vysvetlíme funkcie naprogramované v MATLABE.

Treba podotknúť, že zatiaľ sme pri B-spline funkciách indexovali všetko od 0. MATLAB však indexuje od 1. Výpočty tomu boli prispôsobené.

Prvá funkcia spočíta uzlový vektor, multiplicitu parametru u a tiež index intervalu alebo uzlu, kde sa u nachádza v uzlovom vektore.

Uniformný uzlový vektor sa počítal jednoducho: najprv sme do prvých $p+1$ prvkov vektoru uložili nuly a do posledných $p+1$ prvkov jednotky. Prostredné hodnoty $u_{p+1}, \dots, u_{m-p-1}$ sme spočítali tak, aby boli ekvidistantné spolu s prvkami u_p a u_{m-p} .

Hodnotu, o ktorú sa v prostredných hodnotách uzlového vektoru posúvame, spočítame takto:

$$krok = \frac{1}{n - p + 1} \quad (3.33)$$

Príklad 3.2. Máme B-spline krivku druhého stupňa s ôsmimi riadiacimi bodmi. Chceme vypočítať jej uzlový vektor U :

$$\begin{aligned} p &= 2 \\ n &= 8 \end{aligned} \quad (3.34)$$

Dĺžku uzlového vektoru vypočítame:

$$m + 1 = p + n + 1 = 11 \quad (3.35)$$

Teraz zistíme krok, o ktorý sa budeme v prostredných hodnotách vektoru posúvať:

$$krok = \frac{1}{n - p + 1} = \frac{1}{6} \quad (3.36)$$

Krajných $p+1$ uzlov naplníme na začiatku nulami a na konci jednotkami. Prostredné hodnoty budeme posúvať po $\frac{1}{6}$. Uniformný uzlový vektor v našom prípade vyzerá takto:

$$U = \left\{ 0, 0, 0, \frac{1}{6}, \frac{2}{6}, \frac{3}{6}, \frac{4}{6}, \frac{5}{6}, 1, 1, 1 \right\} \quad (3.37)$$

Ďalší zo vstupných parametrov De Boorovej funkcie je multiplicita a index parametra. Pre každý prvok delenia intervalu u_i si uložíme jeho pozíciu a násobnosť:

Ak $u_i \geq U_j \wedge u_i \leq U_{j+1}$ potom $k_i = j$, $s_i = 0$

Ak $u_i = U_j$ potom $k_i = j$ a s_i získame v cykle

Vstupné hodnoty do MATLAB funkcie:

n	počet riadiacich bodov
p	stupeň krivky
sekv	počet sekvenčí delenia intervalu

Funkcia na výpočet uzlového vektoru, multiplicity a indexu:

```

1 function [U,s,k]=knotvektor(n,p,sekv)
2
3 m=2; % dimenzia riadiacich bodov
4 uk=0;
5
6 % naplnenie vektoru nulami na začiatku a jednotkami na konci
7 U(1:(p+1))=0;
8 U((n+1):(p+n+1))=1;
9
10 % prostredné hodnoty u dopočítame ekvidistantne
11 krok=1/(n-p);
12
13 for i=1:(n-p-1)
14     uk=uk+krok;
15     U((p+1+i):n)=uk;
16 end
17
18 % vytvoríme delenie intervalu podla počtu sekvencií
19 u = linspace(0, 1, sekv);
20
21 k=zeros(size(u));
22 s=zeros(size(u));
23
24 % algoritmus
25 % pre každú sekvenciu vypočítame jej multiplicitu v uzlovom vektore a
26 % index, kde sa v ňom nachádza
27
28 for i=1:numel(u)
29
30     h=0;
31
32     for j=1:(numel(U))
33
34         % pokial sa nachádza sekvencia u(i) medzi U(j) a U(j+1) uzlami,
35         % jej multiplicita je nulová a uložíme si jej index
36
37         if (U(j)<u(i)) && (U(j+1)>u(i))
38             k(i)=j;
39             s(i)=0;
40             break; %našli sme interval, v ktorom sa nachádza u(i)
41
42         % pokial sa sekvencia rovná uzlu, spočítame jej multiplicitu a
43         % uložíme index prvého zhodného uzlu
44
45         elseif u(i)==U(j)
46             k(i)=j;
47             s(i)=s(i)+1;
48         end
49     end
50 end
51
52 end

```

Vstupné hodnoty do funkcie De Boor:

P matica, ktorej jednotlivé riadky predstavujú riadiace body
p stupeň krivky
U uzlový vektor
k index sekvencie
s multiplicita sekvencie v uzlovom vektore
u sekvenčia

Nasledujúcu funkciu zavoláme pre každú sekvenciu delenia intervalu u_i , jej násobnosť s_i v uzlovom vektore, index k_i a potom parametre riadiace body P , uzlový vektor U a stupeň krivky p , ktoré sú rovnaké pre všetky u_i . B-spline bude potom aproximovať všetky riadiace body.

```
1 function [C]=deboor(P,p,U,k,s,u)
2
3 m=size(P,1); % dimenzia riadiacich bodov
4 n=size(P,2); % pocet riadiacich bodov
5
6 Pk = zeros(m,n,p);
7
8 % algoritmus
9
10 h=p-s;
11
12 if h>0
13
14     c= k-p;
15     b= k-s;
16     Pk(:, c:b, 1) = P(:, c:b); % vyberieme afektované body zo vstupných
17
18     for r=2:(h+1)
19         for j=(k-1-p+r):(k-s)
20
21             a(j,r)=(u-U(j))/(U(j+p-r+1+1)-U(j));
22             Pk(:,j,r)=(1-a(j,r))*Pk(:,j-1,r-1)+a(j,r)*Pk(:,j,r-1);
23
24         end
25     end
26
27     C = Pk(:,k-s,p-s+1); % získaný bod na krivke
28
29 elseif k == numel(U)
30
31     C = P(:,end); % posledný bod
32
33 else
34
35     C = P(:,1); % prvý bod
36
37 end
38 end
```

3.4.2 B-spline plocha

Výpočet jedného bodu na B-spline ploche vyžaduje dvojnásobne použitie De Boorovho algoritmu. V tejto časti si to priblížime. Zopakujme si definíciu B-spline plochy:

Definícia 3.3. Nech p a q sú stupne krvky. Majme $m + 1$ riadkov a v každom riadku $n + 1$ riadiacich bodov $P_{i,j}$, kde $0 \leq i \leq m$ a $0 \leq j \leq n$ a uzlové vektory $U = \{u_0, \dots, u_r\}$ $V = \{v_0, \dots, v_s\}$ v nasledujúcom tvare:

$$U = \{0, \dots, 0, u_{p+1}, \dots, u_{r-p-1}, 1, \dots, 1\}$$

$$V = \{0, \dots, 0, v_{q+1}, \dots, v_{s-q-1}, 1, \dots, 1\},$$

(krajné uzly majú násobnosť $p + 1$ v U a $q + 1$ vo V).

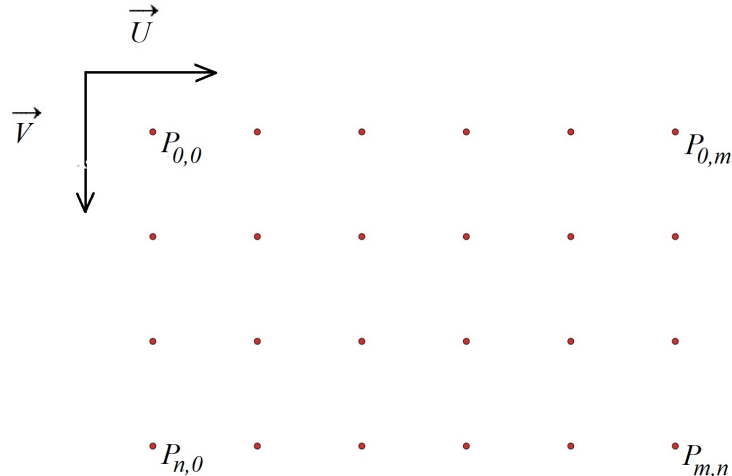
Nech $\{u, v\}$ je dvojica čísel, pre ktoré platí: $u \in \langle u_0, u_r \rangle$ a $v \in \langle v_0, v_s \rangle$ a nech $N_{i,n}(u)$ a $N_{j,q}(v)$ sú bázové funkcie. Potom definujeme B-spline plochu takto:

$$S(u, v) = \sum_{i=0}^n \sum_{j=0}^m N_{i,p}(u) N_{j,q}(v) P_{i,j} \quad (3.38)$$

U má $r + 1$ uzlov a V má $s + 1$ uzlov. Indexy teda musia splňať nasledovné rovnice:

$$\begin{aligned} r &= n + p + 1 \\ s &= m + q + 1 \end{aligned} \quad (3.39)$$

Poznámka. Vstupné riadiace body $P_{i,j}$ musia mať pri kolmom pohľade nasledujúcu štruktúru:



Obr. 28: Sieť bodov $P_{i,j}$

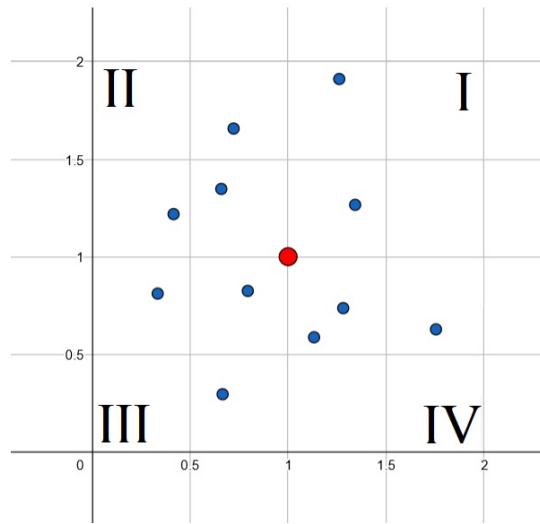
3.4.3 Mriežková štruktúra

Riadiace body, ktoré vstupujú do výpočtu B-spline plochy, musia mať požadovanú mriežkovú štruktúru. Namerané body sú väčšinou nepravidelne usporiadane, a preto ich potrebujeme upraviť do mriežky ako na obrázku obr.28. Výšku bodov mriežky spočítame štatistickou metódou najbližieho suseda.

Metóda najbližšieho suseda

Nasledujúci text je čerpaný zo zdroja [11]. Metóda najbližšieho suseda je jednoduchá interpolačná metóda, ktorá odhaduje neznámu hodnotu na základe hodnôt najbližšieho miesta, v ktorom údaj poznáme. Za hľadaný údaj teda budeme považovať známy údaj z najbližšieho miesta. Metódu si rozšírime tak, že budeme uvažovať najbližší údaj z každého kvadrantu.

Červený bod je bod mriežky a modré body sú namerané údaje. V každom kvadrante vyberieme modrý bod, ktorý je najbližšie k červenému a vypočítame ich vzdialenosť.



Obr. 29: Metóda najbližšieho suseda

Čím je modrý bod bližie k červenému, tým je podstatnejší pre výpočet. Jednotlivým n minimálnym vzdialenosťiam d_i pridáme ďalšiu hodnotu, a to váhu λ_i , pričom platí:

$$\sum_{i=1}^n \lambda_i = 1 \quad (3.40)$$

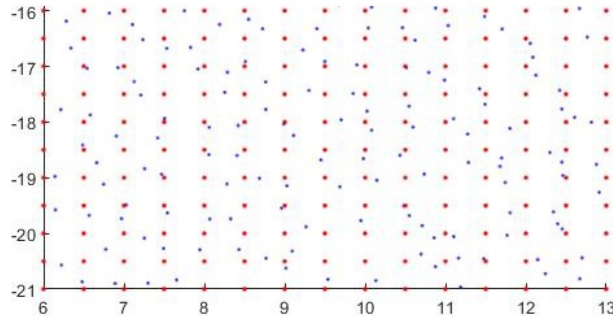
Váhu λ_i minimálnej vzdialenosťi d_i vypočítame nasledovne:

$$\lambda_i = \frac{\sum_{k=1}^n d_k}{\sum_{j=1}^n \frac{d_j}{d_i}} \quad (3.41)$$

Nakoniec hľadanú výšku v vypočítame ako lineárnu kombináciu váh λ_i jednotlivých vstupných bodov a ich výšok v_i :

$$v = \sum_{i=1}^n \lambda_i v_i \quad (3.42)$$

Upravená štruktúra vstupných bodov má tento tvar:



Obr. 30: Sieť upravených červených bodov $P_{i,j}$

Pred vypočítaním mriežky pre vstupné body je nutné určiť, v ktorom smere ju budeme počítať. V tejto práci sme mriežku počítali v rovine xz , tým pádom výšky riadiacich bodov v boli ich y -ové súradnice.

Pokiaľ by sa mal výpočet mriežky zovšeobecniť, program by bol veľmi náročný, preto sme ho upravili podľa zvolených vstupov.

Prejdime na výpočet samotných bodov B-spline plochy. Vezmeme prvý riadok a vypočítame body B-spline krvky De Boorovým algoritmom pre zvolený počet deliacich sekvencií v tomto smere. Následne tento výpočet zopakujeme pre všetky vzniknuté stĺpce, tiež pre zvolený počet sekvencií v stĺpcovom smere. Takto získame body $S(u, v)$ pre všetky dvojice $\{u, v\}$, kde $u \in \langle u_0, u_r \rangle$ a $v \in \langle v_0, v_s \rangle$.

Vstupné hodnoty do funkcie:

P	body mriežky $P_{i,j}$
p	stupeň krvky v smere riadkov
q	stupeň krvky v smere stĺpcov
sekv1	počet deliacich sekvencií v smere riadkov
sekv2	počet deliacich sekvencií v smere stĺpcov

Funkcia B-spline plochy:

```

1 function [deb_col]=bsplineplocha(P,p,q,sekv1,sekv2)
2
3 ps=size(P,2); % počet stlpcov
4 pr=size(P,3); % počet riadkov
5
6 [U,s,c]=knotvektor(pr,p,sekv2); % uzlový vektor a vektor multiplicity
    % pre stlpce
7 [V,t,d]=knotvektor(ps,q,sekv1); % uzlový vektor a vektor multiplicity
    % pre riadky
8
9 u=linspace(0,1,sekv2); % parameter u
10 v=linspace(0,1,sekv1); % parameter v
11
12 deb_row=zeros(3,sekv2,pr);

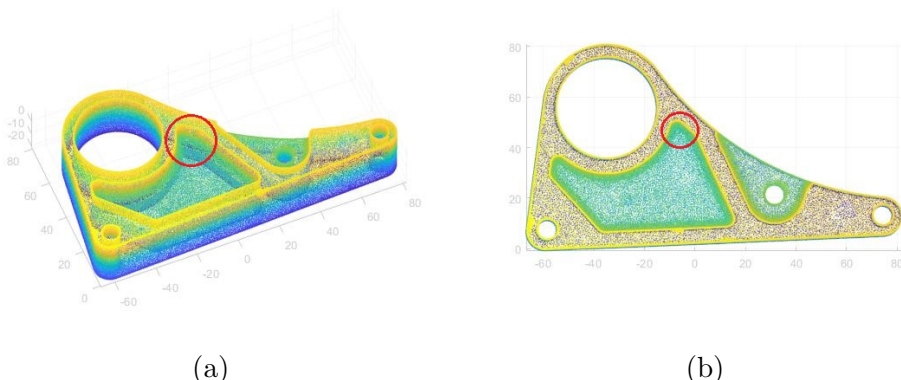
```

```

13 P_z=P(3,1,1:pr); % uložíme si súradnice z, pre jednotlivé riadky sú
14 rovnaké, do De Boorovho algoritmu nevstupujú
15
16 % DEBOOROV ALGORITMUS PO RIADKOV
17 for k=1:sekv1 %indexovanie podla sekvencii
18
19     for i=1:pr    % riadky
20         Pdyn=P(1:2,:,i); % do Pdyn si uložíme i-ty riadok
21         deb_row(1:2,k,i)=deboor(P(1:2,:,i),p,V,d(k),t(k),v(k)); % na i-ty
22         riadok aplikujeme De Boorov algoritmus
23         deb_row(3,k,i)=P_z(i); % dopíšeme chýbajúcu súradnicu z
24     end
25
26
27 P_x=deb_row(1,1:sekv1,1); % uložíme si súradnice x, pre jednotlivé
28 stĺpce sú rovnaké, do De Boorovho algoritmu nevstupujú
29
30 % DEBOOROV ALGORITMUS PO STÍPCOCH
31 for k=1:sekv1
32
33     for i=1:pr
34         Pdyn2(:,i)=deb_row(:,k,i); % do Pdyn2 si uložíme i-ty stĺpec
35     end
36
37     for i=1:sekv2 %indexovanie podla sekvencii
38         deb2(2:3,i)=deboor(Pdyn2(2:3,:),q,U,c(i),s(i),u(i)); % na i-ty
39         stĺpec aplikujeme De Boorov algoritmus
40     end
41
42     deb2(1,1:i)=P_x(k); % dopíšeme chýbajúcu súradnicu x
43     deb_col(:, :, k)=deb2; % v deb_col sú uložené hľadané body B-spline
44     plochy
45 end

```

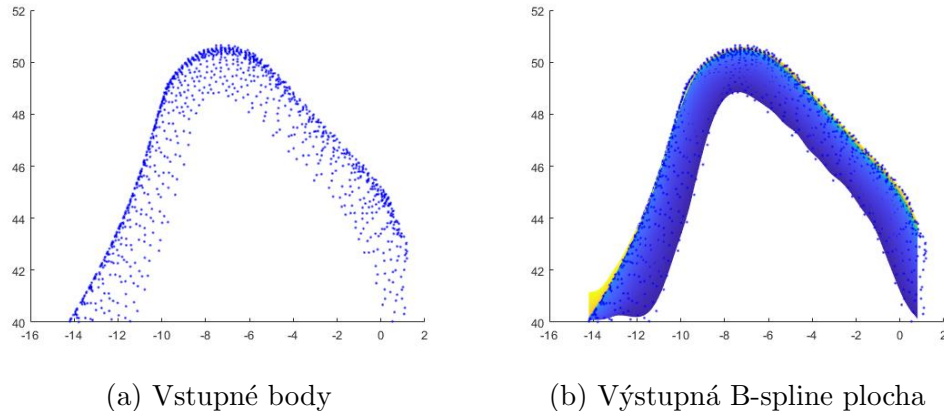
Vstupné body, ktoré boli použité na výpočet mriežky a potom B-spline plochy sme získali orezaním 3D skenu. Na nasledujúcich obrázkoch sa nachádza 3D sken.



Obr. 31: 3D sken

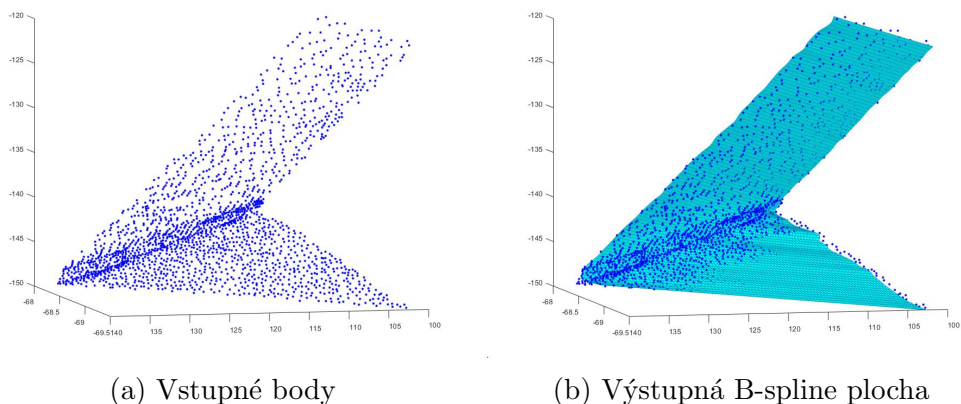
Červeným krúžkom je z neho označená zvolená oblasť, ktorá bola použitá na aproximáciu B-spline plochou.

Aproximovali sme B-spline plochu medzi bodmi z 3D skenu:



Obr. 32: Aproximácia vstupných bodov pomocou B-spline plochy

Funkcia sa dá použiť aj na iné vstupné body, pokiaľ sú vhodne otočené. Výšky bodov musia byť ich ypsilonové súradnice. Na nasledujúcich obrázkoch approximujeme iné vstupné body B-spline plochou:



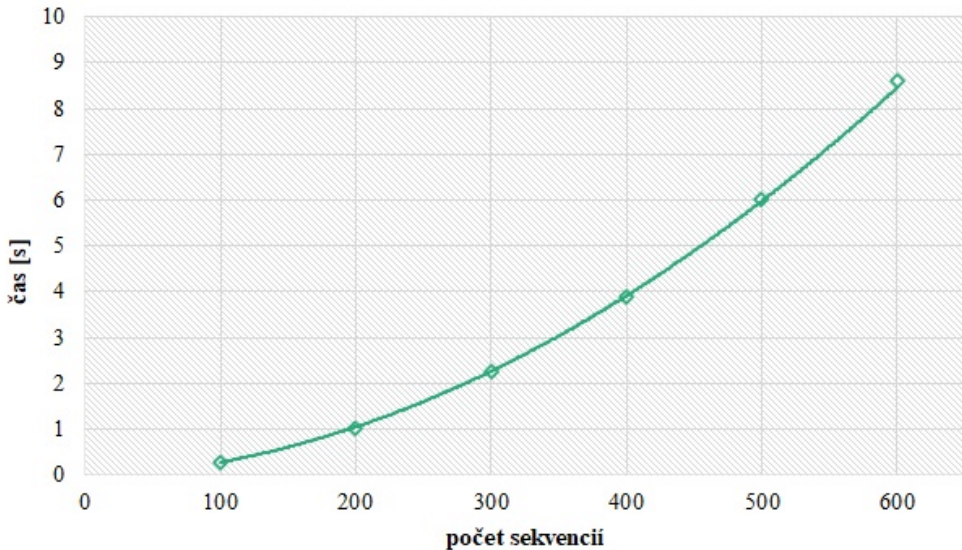
Obr. 33: Aproximácia vstupných bodov pomocou B-spline plochy

3.4.4 Časové závislosti

Narozdiel od iteratívnej metódy RANSAC, De Boorov algoritmus neberie do úvahy iterácie.

Počet sekvencií

Nasledujúci graf ukazuje závislosť času na počte sekvencií delenia intervalu. Hodnoty na osi x predstavujú počet sekvencií pre každý smer. Uvažujeme teda rovnaký počet pre smer riadkov aj pre smer stĺpcov.

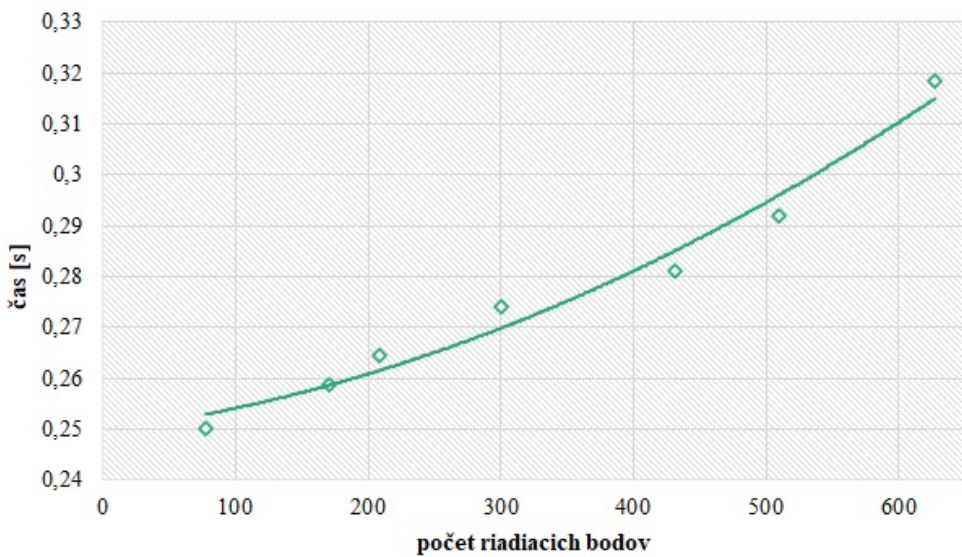


Obr. 34: Graf závislosti času na počte sekvenčí

Program vypočíta bod na ploche B-spline pre každú dvojicu $\{u, v\}$, kde $u \in < u_0, u_m >$ a $v \in < v_0, v_n >$. Pri jemnejšom delení intervalov nám teda algoritmus spočíta viac bodov B-spline plochy ako pri hrubšom. To znamená, že výpočet zaberie viac času, avšak plocha je hladšia a my ju vidíme spojitejšie. Preto je vhodné použiť viac sekvenčí. Problém by nastal, pokial' by sme zadali počet sekvenčí delenia menší ako počet prvkov uzlového vektoru, potom by sa neaproximovala krivka, a teda ani plocha, medzi niektorými riadiacimi bodmi.

Počet riadiach bodov

Teraz sa pozrieme na vplyv počtu riadiacich bodov na trvanie výpočtu.



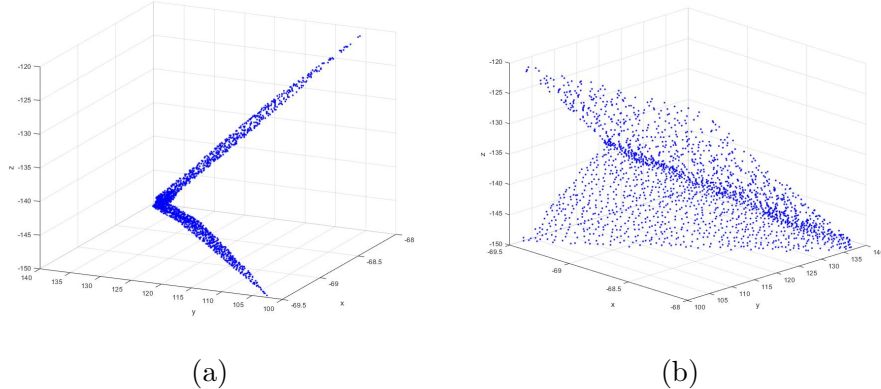
Obr. 35: Graf závislosti času na počte riadiacich bodov

Závislosť sa merala pri nemennom počte sekvenčí delenia intervalov, tým pádom je počet bodov plochy stále rovnaký. Avšak dĺžka uzlového vektoru je závislá od počtu riadiacich

bodov. Čím je ich viac, tým má uzlový vektor viac prvkov a do výpočtu potom vstupuje aj viac riadiacich bodov, preto zabera viac času.

4 Porovnanie aproximačných metód

Na porovnanie metód sme použili 1948 vstupných bodov vyrezaných zo skenu. Pre tieto vstupné body sme hľadali optimálnu aproximačnú rovinu definovanú všeobecnou rovnicou alebo B-spline plochou.



Obr. 36: Vstupné body z 3D skenu

RANSAC

Body si najprv rozdelíme na hornú a dolnú časť. Na obe časti oddelené použijeme RANSAC. Takto sme volili preddefinované hodnoty pre oba prípady:

Počet bodov	w	p	Hraničná vzdialenosť	Hraničné percento
1948	0.7	0.75	0.2	80

Výpočet trval 0.0032 sekúnd a pre oba prípady prebehli 2 iterácie. Výsledné roviny boli definované rovnicami:

$$z = 2.082x - 0.898y + 115.191 \quad (4.1)$$

$$z = -11.389x + 0.580y - 1001.040 \quad (4.2)$$

Priemerná odchýlka bodov od roviny bola 0.16484 pre hornú časť a 0.15377 pre časť dolnú.

Metóda najmenších štvorcov

Pokračovali sme na metódu najmenších štvorcov. Opäť sme rozdelili body na dve časti. Výpočet trval 0.0037 sekúnd. Výsledné optimálne roviny boli definované rovnicami:

$$z = 2.065x - 0.898y + 114.343 \quad (4.3)$$

$$z = -9.038x + 0.417y - 818.809 \quad (4.4)$$

Priemerná odchýlka bodov od roviny bola 0.06997 pre hornú časť a 0.15377 pre časť dolnú.

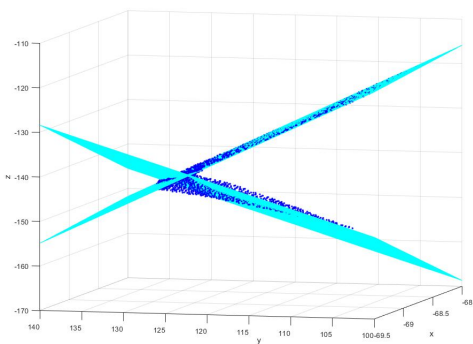
B-spline plocha

Na vstupné body z obr.36 sme použili aj approximáciu B-spline plochou s parametrami:

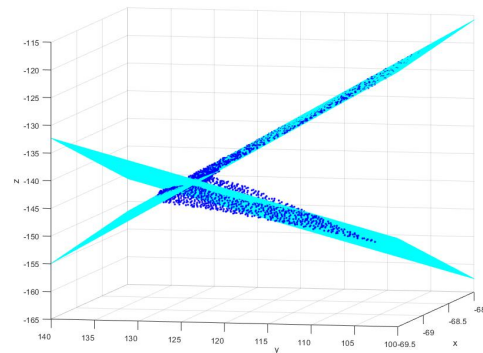
Počet bodov	sekv1	sekv2	p	q
1948	300	300	3	3

Výpočet trval 3.067 sekúnd, priemerná odchýlka bodov od plochy bola 0.0038.

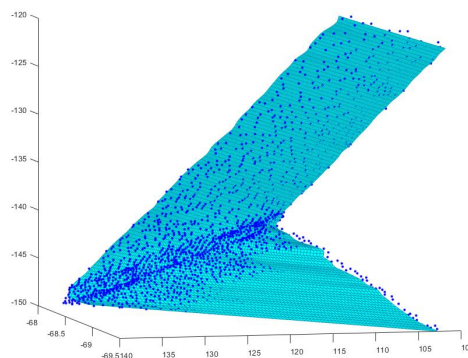
Vykreslenie riešení všetkých metód



(a) RANSAC



(b) Metóda najmenších štvorcov

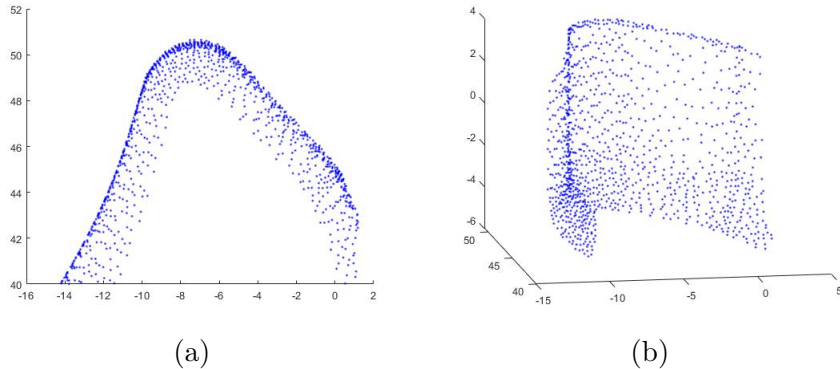


Obr. 38: B-spline plocha

Výpočet v prípade metódy RANSAC a metódy najmenších štvorcov vyžadoval podobný čas. Výsledky sú tiež veľmi podobné. Obe metódy teda zvládli vypočítať koeficienty rovnice veľmi rýchlo a sú použiteľné. Metóda RANSAC funguje na princípe náhodného výberu. Optimálny výsledok nie je vždy zaručený, môže sa meniť pomocou vstupných parametrov, ktoré najprv musíme odhadovať, prípadne počítať. Metóda najmenších štvorcov nám vždy zaručí rovnaký výsledok, pretože počíta vždy rovnakú sústavu rovníc, ktoré sme získali použitím parciálnych derivácií.

B-spline plocha však aproximuje body iným spôsobom. Kopíruje ich vzhľad neporovnateľne presnejšie, pretože nie je obmedzená žiadnym konkrétnym matematickým modelom. Počíta jednotlivé B-spline krivky podľa toho, kde sa body nachádzajú. Výpočet je oproti prvým dvom metódam časovo náročnejší aj pracnejší, ale zato oveľa presnejší.

Teraz otestujeme metódy na iných vstupných bodech:



Obr. 39: Vstupné body z 3D skenu

Pre tieto vstupné body sme hľadali optimálnu kvadratickú plochu pomocou approximačných metód.

RANSAC

Takto sme volili preddefinované hodnoty:

Počet bodov	w	p	Hraničná vzdialenosť	Hraničné percento
1208	0.7	0.75	1.25	80

Výpočet trval 964.243 sekúnd. 92% *inliers* bolo od plochy v maximálne kvadratickej hraničnej vzdialenosťi. Výsledná optimálna plocha bola definovaná rovnicou:

$$z = 1.16x^2 + 0.09y^2 - 0.35x + 0.29y + 0.31xy - 199.68 \quad (4.5)$$

Priemerná odchýlka bodov od plochy bola 0.4633.

Metóda najmenších štvorcov

Výpočet trval 0.0006 sekúnd. Výsledná optimálna plocha bola definovaná rovnicou:

$$z = 0.25x^2 - 0.016y^2 - 0.035x + 3.459y + 0.068xy - 123.045 \quad (4.6)$$

Priemerná odchýlka bodov od plochy bola 0.7245.

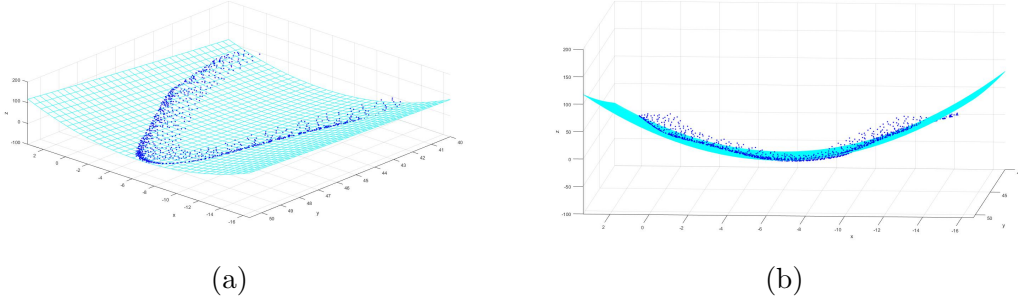
B-spline plocha

Na vstupné body z obr.39 použijeme aj approximáciu B-spline plochou s parametrami:

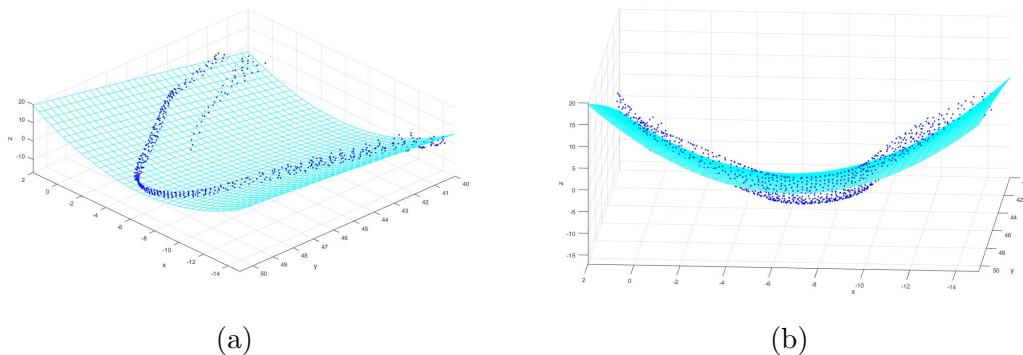
Počet bodov	sekv1	sekv2	p	q
1208	300	300	3	3

Výpočet trval 2.431 sekúnd, priemerná odchýlka bodov od plochy bola 0.0081.

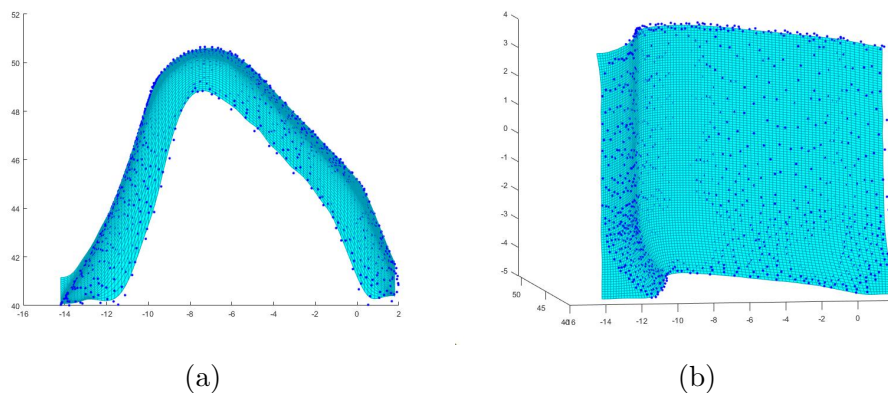
Vykreslenie riešení všetkých metód



Obr. 40: RANSAC



Obr. 41: Metóda najmenších štvorcov



Obr. 42: Aproximácia B-spline plochou

Optimálne plochy, ktoré boli vypočítané metódami RANSAC a metódou najmenších štvorcov sa opäť podobajú ako v predošлом prípade. Metóde RANSAC výpočet trval oveľa

dlhšie vzhľadom na náročnejší výpočet vzdialenosťí bodov od plochy. Aproximácia B-spline plochou opäť kopírovala vzhľad bodov pomocou parametrických kriviek. Výsledok preto vyzerá najpresnejšie.

Záver

Aproximačné metódy sa používajú v oblasti reverzného inžinierstva, pri ktorom sa z hotového komponentu späťne vytvára model. Jeden zo spôsobov získania dát z komponentu je 3D skenovanie.

Cieľom tejto práce bolo naštudovanie aproximačných metód pre trojrozmerné dátá, ich spracovanie v programovacom jazyku MATLAB a použitie na konkrétné dátá získané z 3D skenu. Práca začína teoretickou časťou, ktorá sa zaobera vysvetlením princípov metód a ďalej pokračuje na spracované a popísané programy. Potom bolo dôležité otestovať programy pre rôzne vstupy a parametre. V poslednej kapitole sme metódy porovnali pre rozdielne dátá z 3D skenu.

Všetky metódy sú použiteľné, každá má svoje výhody. RANSAC je robustná metóda, ktorá hľadá optimálne riešenie pomocou minimálnej vzorky dát. Avšak optimálne riešenie je v tomto prípade subjektívne. Odvíja sa od preddefinovaných testovacích kritérií. Metóda najmenších štvorcov nevyberá náhodne vzorku dát, ale použije všetky dátá. Tým pádom je výsledok pre dané body vždy rovnaký. Aproximácia B-spline plochou pracuje inak ako predošlé dve metódy. Počíta v jednotlivých stĺpcoch a riadkoch bodov B-spline krivky a z nich vytvorí celú plochu. Avšak riadiace body vstupujúce do výpočtu B-spline plochy musia mať mriežkovú štruktúru. Namerané dátá sú väčšinou neusporiadane, preto musíme použiť zvolenú interpolačnú, aproximačnú alebo štatistickú metódu na úpravu bodov do požadového tvaru.

Pred konkrétnou aproximáciou je výhodné dátá najprv analyzovať a na základe toho si vybrať vhodnú metódu. Pokiaľ dokážeme dopredu určiť správny matematický model, môžeme použiť RANSAC alebo metódu najmenších štvorcov. Pokiaľ je tvar zložitejší, B-spline plocha ho bude aproximovať presnejšie, ale nevyhneme sa úprave dát.

Literatúra

- [1] Přesná průmyslová 3D metrologie [online]. [cit. 2021-4-28]. Dostupné z: <https://www.atos-core.com/cz/index.php>
- [2] ATOS Triple Scan Technology — Blue Structured Light 3D Scanner for Accuracy [online]. [cit. 2021-04-17]. Dostupné z: <https://www.capture3d.com/3d-metrology-solutions/3d-scanners/atos-triple-scan>
- [3] KRBA, Martin. *Identifikace počítače na základě časových značek paketů*. Brno, 2012. Bakalářská práce. VUT. Vedoucí práce ING. Jan Kaštil.
- [4] MANZUR, Angel. *Got outliers? RANSAC them!* [online]. In: . 2019 [cit. 2021-04-11]. Dostupné z: <https://medium.com/@angel.manzur/got-outliers-ransac-them-f12b6b5f606e>
- [5] FISCHLER, M. A. a R. C. BOLLES. *Random sample consensus*. *Communications of the ACM*. 1981, 24(6), 381-395. ISSN 0001-0782. Dostupné z: doi:10.1145/358669.358692
- [6] BARNOVSKÁ, M. Extrémy funkcie n premenných. *Matematická analýza III: Zbierka príkladov na cvičenia pre 2.ročník* [online]. s. 107-112 [cit. 2021-04-11]. Dostupné z: <http://www.iam.fmph.uniba.sk/skripta/maiII/III6.pdf>
- [7] MATEMATIKA online[online]. Brno: Ústav matematiky FSI VUT Brno, 2005 [cit. 2020-06-06]. Dostupné z:<https://mathonline.fme.vutbr.cz/Matematicka-analyzaI/sc-1225-sr-1-a-265/default.aspx>
- [8] SOBOTA, Branislav. *NURBS - NeUniformné Racionálne B-Spline* [online]. In: . 2015 [cit. 2021-04-11]. Dostupné z: https://hornad.fei.tuke.sk/predmety/svr/doc/slides2015/SVR0715_NURBS.pdf
- [9] SHENE, C.-K. *Introduction to Computing with Geometry Notes* [online]. [cit. 2021-04-11]. Dostupné z: <https://pages.mtu.edu/~shene/COURSES/cs3621/NOTES/>
- [10] THORNE, Tom. *Computer Graphics 17 - Curves and Surfaces 2* [online]. In: . [cit. 2021-04-11]. Dostupné z: <http://www.inf.ed.ac.uk/teaching/courses/cg/lectures/slides17.pdf>
- [11] KAŇUK, Ján. Priestorové analýzy a MODELOVANIE. Košice: Univerzita Pavla Jozefa Šafárika v Košiciach, 2015. ISBN 978-80-8152-290-1.
- [12] MIKULÁŠEK, Zdeněk. *Metoda nejmenších čtverců* [online]. In: . 2003 [cit. 2021-04-11]. Dostupné z: https://astro.physics.muni.cz/download/documents/skripta/F7581mnc_ver1.pdf?fbclid=IwAR3gSRYeBxy-eMb3hFMa55781jwaldex11opjLj-xSUPxvhL2CuTrkR0K-E
- [13] MARKOVÁ, Hana. *B-spline křivky*. Praha, 2007. Bakalářská práce. Univerzita Karlova v Praze. Vedoucí práce Doc. RNDr. Karel Najzar, CSc.
- [14] PIEGL, Les a Wayne TILLER. *The NURBS book*. 2nd ed. Berlin: Springer-Verlag, 1997. ISBN 35-406-1545-8.

Použité symboly a skratky

\times	Obyčajné násobenie matíc
\cdot	Obyčajné násobenie skalárov
∇	Gradient
\in	Patrí
\forall	Pre všetky
\mathbb{R}	Množina reálnych čísel
$\bar{\beta}$	Vektor β
\vec{u}	Vektor u
$\vec{u} \times \vec{v}$	Vektorový súčin dvoch vektorov

Zoznam príloh

Zdrojové kódy v jazyku MATLAB.

Nachádzajú sa v priečinku 2021_Programy_Valachova_Alzbeta_200982.

RANSAC

Funkcia *ransac2* počíta metódou RANSAC optimálnu všeobecnú rovnicu roviny

Funkcia *ransac1* počíta metódou RANSAC optimálnu kvadratickú plochu

Funkcia *lagrangenmult* počíta vzdialenosť bodu od kvadratickej plochy

Súbor *vstupy_ransac* otestuje *ransac1*, *ransac2* na vstupoch

Metóda najmenších štvorcov

Funkcia *MNC* počíta metódou najmenších štvorcov optimálnu všeobecnú rovnicu roviny

Funkcia *KVMNC* počíta metódou najmenších štvorcov optimálnu kvadratickú plochu

Súbor *vstupy_MNC* otestuje *MNC*, *KVMNC* na vstupoch

B-spline plocha

Funkcia *knotvektor* počíta uzlový vektor, multiplicitu a index sekvencie

Funkcia *deboor* počíta bod nachádzajúci sa na B-spline krivke

Funkcia *makegrid* vyrobí zo vstupných bodov pravidelnú mriežku

Funkcia *bsplineplocha* vyrobí z mriežky B-spline plochu

Súbor *vstupy_bsplineplocha* otestuje funkciu *bsplineplocha* na vstupoch